



Escola Politécnica da Universidade de São Paulo

Modelagem longitudinal em cruzeiro de uma aeronave biplana radiocontrolada

Modelagem de sistemas dinâmicos
PME 3380

Ives C. Vieira - 10355551
Mauricio C. Leiman - 10772571
Vítor Facchini - 10772605
Yago N. Yang - 10772626

Professor: Agenor Fleury e Décio Crisol

São Paulo
2020

Sumário

1	Lista de símbolos	5
2	Introdução	8
3	Objetivos	9
4	Revisão bibliográfica	10
4.1	W. F. Phillips: Mechanics of Flight [1]	10
4.2	M. Cook: Flight Dynamics Principles [2]	10
4.3	W. Cooper: Introduction to Aircraft Aeroelasticity and Loads [3]	10
4.4	John Anderson Jr.: Fundamentals of Aerodynamics [4]	10
4.5	D. E. Hoak: The USAF Stability and Control DATCOM [5]	10
5	Modelo Físico	11
6	Modelo Matemático	12
6.1	Definição dos eixos do problema	12
6.2	Variáveis consideradas na modelagem	13
6.3	Forças na aeronave	14
6.3.1	Força peso	14
6.3.2	Forças aerodinâmicas	14
6.3.3	Força de tração	15
6.4	Momentos na aeronave	15
6.4.1	Momento da tração	15
6.4.2	Momento decorrente da atuação de superfícies de controle	15
6.5	Hipóteses simplificadoras	16
6.6	Condições de trimagem	17
6.7	Equações do movimento	18
6.8	Linearização do problema	19
6.9	Modelagem aerodinâmica	22
6.9.1	Coefficientes aerodinâmicos	22
6.9.2	Cálculos iniciais	22
6.9.3	Força e momento resultante na aeronave	23
6.9.4	Derivadas Devido a Perturbações de Velocidade	24
6.9.5	Derivadas com relação à taxa de arfagem	25
6.9.6	Derivadas com relação às perturbações das superfícies de controle	26
7	Solução da modelagem da aeronave	27
7.1	Transformada de Laplace e funções de transferência	27
7.2	Parâmetros numéricos	28
7.2.1	Substituição dos valores numéricos no sistema linearizado	29

7.2.2	Obtenção das funções de transferência	29
7.3	Análise de estabilidade, polos e zeros do sistema	29
7.3.1	Aplicação do critério de Routh-Hurwitz	31
7.4	Análise de Frequência pelo diagrama de Bode	32
7.4.1	Diagramas de Bode	32
7.5	Comparação entre o modelo linear e o não linear	33
7.5.1	Perturbação do tipo degrau	34
7.5.2	Perturbação do tipo rampa	35
7.5.3	Perturbação do tipo impulso	37
8	Considerações Finais	39
9	Apêndice: Códigos utilizados na simulação	40
9.1	Simulação linear	40
9.2	Simulação não linear	46
9.3	Comparação entre simulações não lineares e lineares	53
	Referências Bibliográficas	64

Lista de Figuras

2.1	Aeronaves de 2018 e 2019 da Keep Flying e Keep Flying Jr.	8
3.1	Aeronave de 2020 da equipe Keep Flying	9
5.1	Localização das superfícies de comando da aeronave estudada	11
6.1	Sistemas de eixos adotado	12
6.2	Velocidades lineares e angulares	13
6.3	Variáveis auxiliares	14
6.4	Diagrama de corpo livre da aeronave	23
7.1	Diagrama de polos e zeros	30
7.2	Diagrama de Bode na variável q	32
7.3	Diagrama de Bode na variável θ	33
7.4	Comparação entre o modelo linear e não linear para uma perturbação degrau . .	34
7.5	Comparação entre o modelo linear e não linear para uma perturbação degrau . .	34
7.6	Rampa utilizada na simulação	35
7.7	Comparação entre o modelo linear e não linear para perturbação rampa	36
7.8	Comparação entre o modelo linear e não linear para uma perturbação rampa . .	36
7.9	Comparação entre o modelo linear e não linear para uma perturbação impulso .	37
7.10	Comparação entre o modelo linear e não linear para uma perturbação impulso .	37

Lista de Tabelas

6.1	Variáveis consideradas no movimento	13
6.2	Variáveis auxiliares	13
6.3	Hipóteses simplificadoras adotadas	16
6.4	Variáveis de Estado e auxiliares descritas pelo método das pequenas perturbações	19
6.5	Parâmetros numéricos utilizados	25
6.6	Parâmetros numéricos utilizados	26
7.1	Valores numéricos utilizados	28
7.2	Critério de Routh-Hurwitz	31

1 Lista de símbolos

Símbolo	Significado
α	Ângulo de ataque
CG	Centro de gravidade
C_D	Coefficiente de arrasto
C_L	Coefficiente de sustentação
C_m	Coefficiente de momento
C_{L_α}	Derivada do coeficiente de sustentação no α
C_{D_α}	Derivada do coeficiente de arrasto no α
C_{M_α}	Derivada do coeficiente de momento no α
\bar{c}	Corda média aerodinâmica
ϕ	Figura 6.1
θ	Figura 6.1
ψ	Figura 6.1
x_f	Figura 6.1
x_b	Figura 6.1
y_f	Figura 6.1
y_b	Figura 6.1
z_f	Figura 6.1
z_b	Figura 6.1
u	Velocidade do avião em relação ao escoamento em x_b
v	Velocidade do avião em relação ao escoamento em y_b
w	Velocidade do avião em relação ao escoamento em z_b
p	Velocidade angular do avião em x_b
q	Velocidade angular do avião em y_b
r	Velocidade angular do avião em z_b
x	Deslocamento do avião em x_f
y	Deslocamento do avião em y_f
z	Deslocamento do avião em z_f
δ_{prof}	Deflexão do profundor
δ_{ail}	Deflexão do aileron
δ_{leme}	Deflexão do leme
T	Tração
m	Massa
g	Aceleração gravitacional
W	Força peso
L	Força de sustentação
D	Força de arrasto
F_g	Força gravitacional
ρ	Massa específica do ar

Símbolo	Significado
V	Velocidade de referência do avião
α_{T0}	Ângulo de ataque do motor quando a aeronave possui $\alpha = 0$
F_T	Força de tração
M_T	Momento da tração
h_{motor}	Altura do motor em relação ao solo
h_{CG}	Altura do CG em relação ao solo
z_T	$h_{motor} - h_{CG}$
x_T	Coordenada x do centro de tração da aeronave
F	Força resultante no avião
M	Momento resultante no avião
F_{x_f}	Força resultante no avião em x_f
F_{z_f}	Força resultante no avião em z_f
α_{trim}	Ângulo de ataque de triagem do avião
M_{y_f}	Momento resultante em y_f
M_{aer}	Momento aerodinâmico
C_M	Coefficiente de momento
V_0	Velocidade de referência do avião
C_{L_0}	Coefficiente de sustentação para $\alpha = 0$
C_{D_0}	Coefficiente de arrasto para $\alpha = 0$
C_{M_0}	Coefficiente de momento para $\alpha = 0$
β	Ângulo de derrapagem
C_θ	$\cos \theta$
C_ϕ	$\cos \phi$
C_ψ	$\cos \psi$
S_θ	$\sin \theta$
S_ϕ	$\sin \phi$
S_ψ	$\sin \psi$
B_0	Variável genérica B na condição de equilíbrio de equilíbrio
B_i	Variável genérica B no instante i
ΔB_i	Varição da variável genérica no instante i
\dot{B}	Derivada da variável genérica B no tempo
V_{wy_f}	Velocidade do vento no eixo y_f
F_{xb_0}	Força em x_b na posição de equilíbrio
F_x	Força resultante em x_b
F_y	Força resultante em y_b
F_z	Força resultante em z_b
M_x	Momento resultante em x_b
M_y	Momento resultante em y_b
M_z	Momento resultante em z_b
W_x	Momento resultante em x_b
W_y	Momento resultante em y_b
W_z	Momento resultante em z_b
\bar{B}_{bK}	$\frac{\partial B_b}{\partial K}$

Símbolo	Significado
S	Área alar
S_h	Área da empenagem horizontal
x_1	Distância do CG ao centro aerodinâmico da asa inferior
x_2	Distância do CG ao centro aerodinâmico da asa superior
C_{L1}	Coefficiente de sustentação da asa inferior
C_{L2}	Coefficiente de sustentação da asa superior
η_h	Fator de eficiência da cauda
x_h	Distância do CG ao centro aerodinâmico da cauda
C_{L_h}	Coefficiente de sustentação da cauda
I_{yy}	Inércia do avião no eixo y_b
VLM	Vortex lattice Methode
$DATCOM$	Data Compedium
CFD	Computational Fluid Dynamics

2 Introdução

A Keep Flying é a atual representante de Escola Politécnica da Universidade de São Paulo (EPUSP) na competição SAE Brasil Aerodesign, na qual é proposto que cada equipe faça o desenvolvimento de um projeto de uma aeronave cargueira radiocontrolada, a Figura 2.1 mostra alguns dos aviões da equipe Keep Flying. A equipe participa nesta competição em duas frentes: na categoria Micro com a Keep Flying Jr (campeã do torneio de acesso à competição principal em 2017 e décima colocada em sua primeira participação em 2018) e na categoria Regular com a Keep Flying que foi fundada em 2003 e apresenta uma série de títulos e conquistas, como a primeira colocação geral em 2006, a segunda colocação geral em 2008 e 2018, o prêmio Embraer de excelência em projeto em 2018, além do recorde de maior carga transportada obtido em 2009.

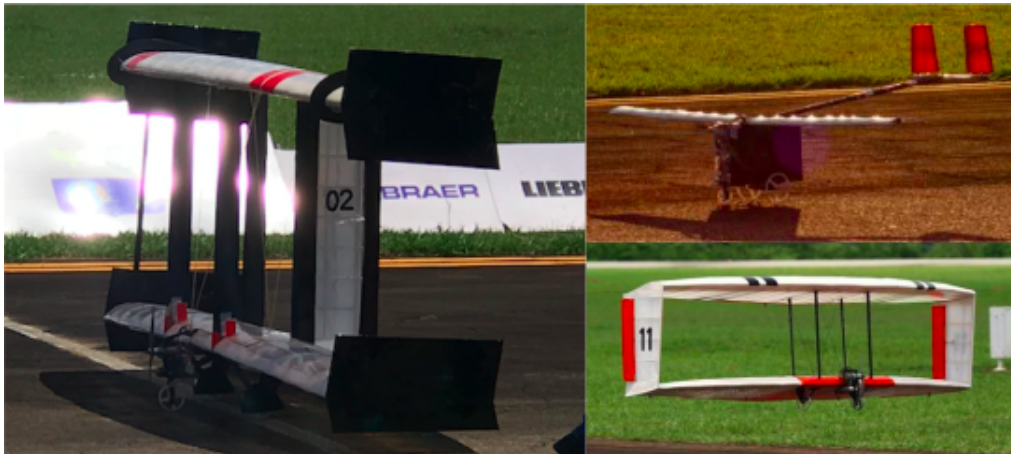


Figura 2.1: Aeronaves de 2018 e 2019 da Keep Flying e Keep Flying Jr.

Visando melhorar a qualidade das simulações de voo para agregar qualidade ao projeto de novas aeronaves em geral, além de permitir a simulação de voos sem a necessidade de encontros presenciais (devido à pandemia de CoVid-19 em 2020), inicialmente foi pensada a elaboração da modelagem de um simulador de voo capaz de representar uma aeronave da equipe durante toda a trajetória da categoria Regular.

Entretanto, buscando a simplificação do problema a fim de se manter o trabalho no escopo da disciplina, foi feita a opção pela modelagem longitudinal do avião em cruzeiro, que será descrita ao longo do seguinte relatório.

3 Objetivos

O objetivo do projeto se resume à elaboração de uma modelagem longitudinal que represente a aeronave da equipe Keep Flying de 2020 (Figura 3.1) durante o voo em cruzeiro.

Serão apresentados os desenvolvimentos que levam à obtenção das equações diferenciais do movimento, representação no espaço de estados e no domínio da frequência. Além disso, também serão incluídos resultados referentes à simulação destas representações em ambiente computacional adequado, bem como discussões e conclusões sobre estes resultados obtidos.



Figura 3.1: Aeronave de 2020 da equipe Keep Flying

4 Revisão bibliográfica

4.1 W. F. Phillips: *Mechanics of Flight* [1]

Essa é a principal referência utilizada no desenvolvimento do trabalho, o sistema de eixos utilizado durante a modelagem matemática e a dedução das equações do movimento são baseadas nesta referência. Essa referência também forneceu auxílios matemáticos, como uma matriz de transição que permite facilmente transformar vetores entre os 2 sistemas de eixos utilizados. Optou-se, também, por se basear na modelagem proposta por Phillips pela simplicidade e clareza das explicações.

4.2 M. Cook: *Flight Dynamics Principles* [2]

Utilizou-se o texto junto com a modelagem proposta por Phillips por apresentar considerações aprofundadas de estabilidade, não tão discutidas na referência anterior. Além de possuir um maior detalhamento na linearização de equações.

4.3 W. Cooper: *Introduction to Aircraft Aeroelasticity and Loads* [3]

O texto foi utilizado na etapa final do projeto, para o cálculo dos fatores de carga da aeronave durante o voo simulado.

4.4 John Anderson Jr.: *Fundamentals of Aerodynamics* [4]

Essa referência mostra considerações aerodinâmicas relevantes na definição e emprego dos coeficientes aerodinâmicos.

4.5 D. E. Hoak: *The USAF Stability and Control DATCOM* [5]

O DATCOM de estabilidade e controle da Força Aérea Americana fornece diferentes métodos e conhecimentos da aeronáutica relativos à dinâmica de aeronaves, obtenção de coeficientes aerodinâmicos e derivadas de estabilidade. Há diversos trabalhos referenciados nele, que são, principalmente, estudos desenvolvidos por engenheiros aeronáuticos da NACA (*National Advisory Committee for Aeronautics*). Nesse DATCOM apresentam-se vários métodos para a determinação de derivadas úteis à modelagem da dinâmica de uma aeronave para casos distintos (subsônico, transônico, asa com ou sem *taper*, enflechamento, altos ângulos de ataque, etc...) e são também apresentadas as suas correlações com dados experimentais. Utilizou-se essa referência pois, em algumas situações, as simplificações realizadas nas modelagens de Cook e Philips não são condizentes com aeronaves radiocontroladas em configurações não convencionais.

5 Modelo Físico

Nas análises apresentadas neste relatório será considerado que todos os componentes da aeronave se comportam como corpos rígidos. Logo, serão desconsideradas quaisquer deformações na estrutura, assim como variações nas propriedades desta.

Assim, destacam-se três superfícies de comando que regem os movimentos da aeronave nos eixos lateral (arfagem), longitudinal (rolagem) e vertical (guinada), sendo estas:

- Profundor: localizado no bordo de fuga da empenagem horizontal, controla a arfagem;
- *Ailerons*: presentes nas extremidades do bordo de fuga da asa inferior, são responsáveis pela rolagem;
- Lemes: contidos nos bordos de fuga das empenagens verticais (que por sua vez estão acopladas às extremidades da empenagem horizontal), controlam a guinada.

A figura 5.1 a seguir ilustra com mais clareza as superfícies e suas posições na aeronave.

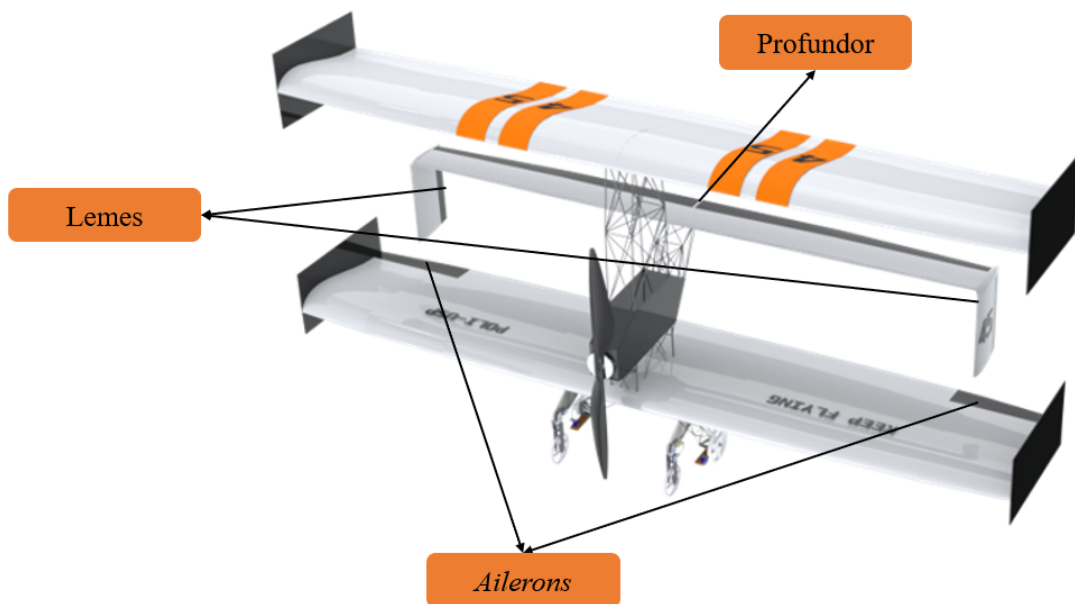


Figura 5.1: Localização das superfícies de comando da aeronave estudada

6 Modelo Matemático

Na descrição do modelo matemático da aeronave em cruzeiro, definem-se os eixos de coordenadas adotados, as variáveis relevantes e suas equações que descrevem o comportamento dinâmico do corpo. Também definem-se as forças e momentos atuantes no problema. Posteriormente, faz-se uso de hipóteses simplificadoras para linearização das equações e descrição em espaço de estados apropriado para simulação.

6.1 Definição dos eixos do problema

Para realizar a modelagem e o estudo do movimento da aeronave, é necessário estabelecer sistemas de coordenadas nos quais as variáveis do movimento serão orientadas e quantificadas. Para problemas de aeronáutica, a literatura [1] sugere a utilização de duas bases vetoriais: uma base fixa na aeronave, com eixos seguindo a simetria do avião, e uma base fixa no espaço, ambas com origem no centro de gravidade do corpo, sendo que no caso da base fixa sua origem é determinada pela posição do CG no instante inicial da simulação.

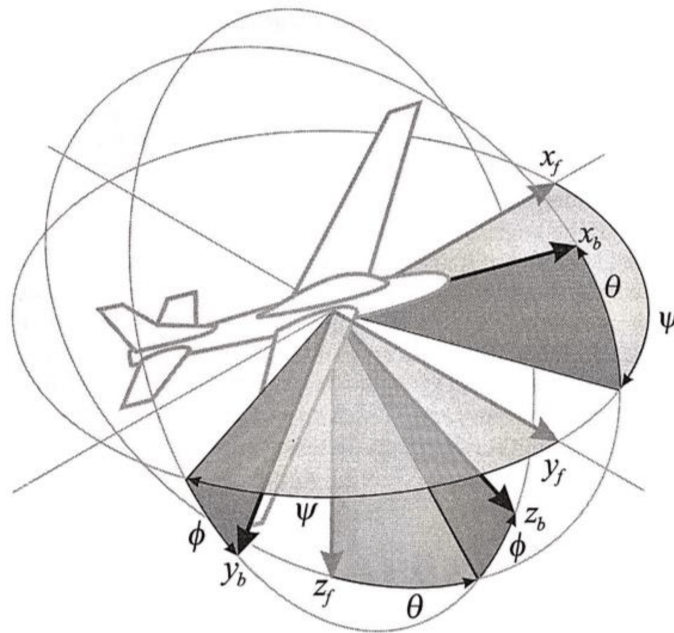


Figura 6.1: Sistemas de eixos adotado

6.2 Variáveis consideradas na modelagem

Para descrever o comportamento da aeronave em cruzeiro, foram utilizadas 12 variáveis separadas em 4 grupos principais, conforme a Tabela 6.1:

Tabela 6.1: Variáveis consideradas no movimento

Definição	Símbolo		
Velocidades de Translação	u	v	w
Velocidades de Rotação	p	q	r
Posição da Aeronave	x	y	z
Inclinação da Aeronave	ϕ	θ	ψ

Além disso, foram consideradas 3 variáveis relativas a deflexão das superfícies de controle 1 variável relativa à tração do motor.

Tabela 6.2: Variáveis auxiliares

Definição	Símbolo
Deflexão do profundor	δ_{prof}
Deflexão do aileron	δ_{ail}
Deflexão do leme	δ_{leme}
Tração Disponível	T

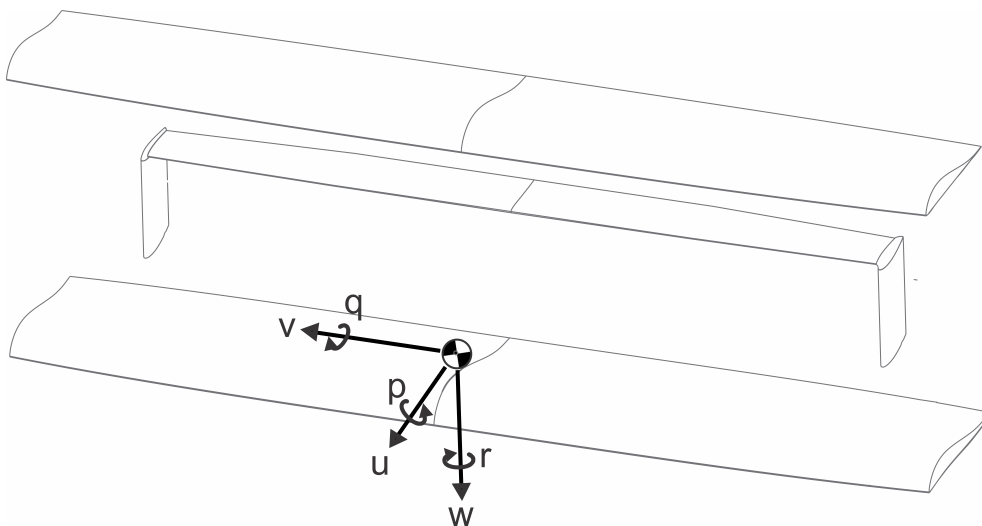


Figura 6.2: Velocidades lineares e angulares

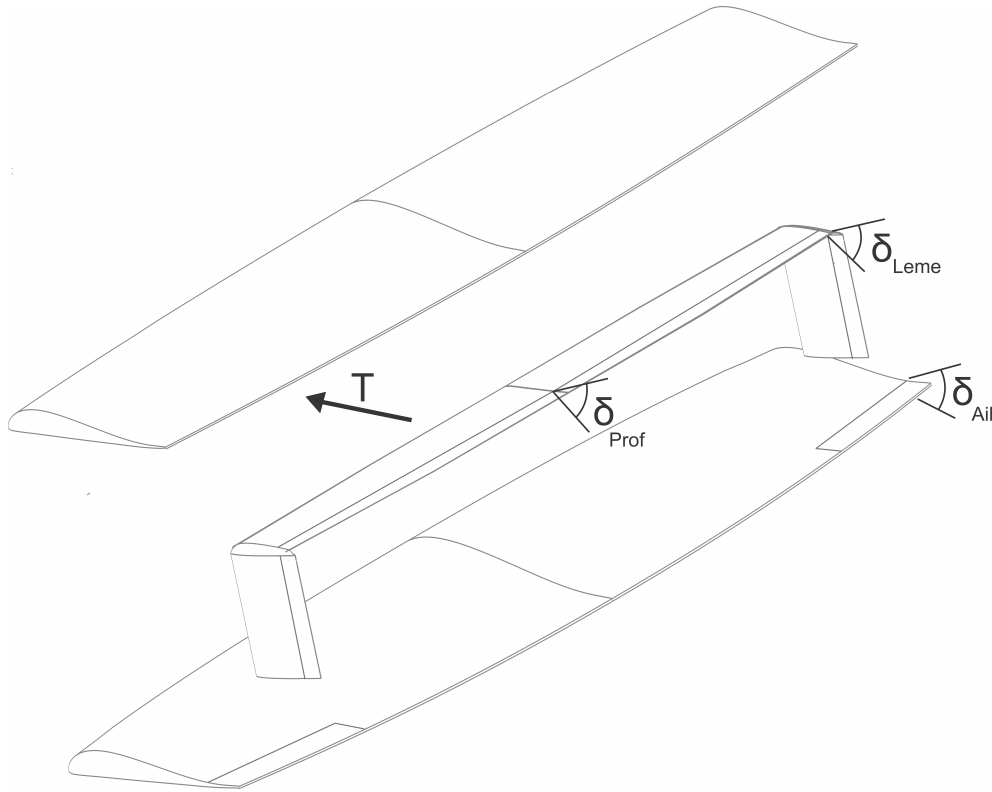


Figura 6.3: Variáveis auxiliares

6.3 Forças na aeronave

Nesta seção serão definidas as forças atuantes no avião, que serão representadas como a soma das forças aerodinâmicas, gravitacionais e de tração nos eixos x_b , y_b e z_b . Ressalta-se que alguns dos componentes aqui definidos serão descartados na seção 6.9.3, devido à adoção de hipóteses simplificadoras descritas na tabela 6.3.

6.3.1 Força peso

Considera-se que a força peso é constante, e efetua-se a decomposição desta nos eixos pertinentes, definindo-a da seguinte maneira.

$$F_g = W \begin{bmatrix} -\sin(\theta) \\ \sin(\phi) \cos(\theta) \\ \cos(\phi) \cos(\theta) \end{bmatrix}, \text{ com } W = mg \quad (6.1)$$

6.3.2 Forças aerodinâmicas

As forças aerodinâmicas que atuam na aeronave são o arrasto e a sustentação. Define-se que o arrasto será representado da seguinte maneira.

$$D = \frac{1}{2} \rho S C_D V^2 \begin{bmatrix} -\cos(\alpha) \\ 0 \\ -\sin(\alpha) \end{bmatrix} \quad (6.2)$$

Já para a sustentação, determina-se o formato abaixo.

$$L = \frac{1}{2}\rho S C_L V^2 \begin{bmatrix} \sin(\alpha) \\ 0 \\ -\cos(\alpha) \end{bmatrix} \quad (6.3)$$

6.3.3 Força de tração

A força de tração é definida como:

$$F_T = T \begin{bmatrix} \cos(\alpha_{T0}) \\ 0 \\ -\sin(\alpha_{T0}) \end{bmatrix} \quad (6.4)$$

6.4 Momentos na aeronave

Finalizada a definição das forças que atuam na aeronave, deve-se então efetuar o mesmo procedimento para os momentos, utilizando-se a mesma convenção.

6.4.1 Momento da tração

O momento gerado pela força de tração pode ser determinado através da seguinte equação

$$M_T = T [(h_{motor} - h_{CG}) \cos(\alpha_{T0}) + x_T \sin(\alpha_{T0})] \quad (6.5)$$

6.4.2 Momento decorrente da atuação de superfícies de controle

O momento definido nesta subseção não representa apenas o efeito da atuação dos profundos, já que o C_M empregado engloba também o momento oriundo das forças aerodinâmicas, calculado em torno do CG.

$$M_{aer} = \frac{1}{2}\rho V^2 S \bar{c} C_m \quad (6.6)$$

6.5 Hipóteses simplificadoras

Para simplificar a solução do problema são adotadas diversas hipóteses simplificadoras, as quais são apresentadas e justificadas na Tabela 6.3 abaixo.

Tabela 6.3: Hipóteses simplificadoras adotadas

Hipótese	Justificativa
Corpo rígido	Estrutura da aeronave apresenta alta rigidez, possibilitando desprezar efeitos aeroelásticos e variações no comportamento aerodinâmico
Comandos instantâneos	Atraso desprezível entre o momento do <i>input</i> e a atuação de superfícies de controle
C_L , C_D e C_M independem do número de <i>Mach</i>	Regime de operação subsônico a baixos valores de Reynolds
Movimento longitudinal pode ser analisado independentemente	Coefficientes de acoplamento podem ser desprezados em voo nivelado, segundo a literatura empregada
Comportamento aerodinâmico linear	Aproximação razoável para baixos ângulos de ataque (aeronave longe do <i>stall</i>)
Derivadas de estabilidade e das perturbações são independente	Literatura utilizada considera desprezível
I_{xy} e $I_{yz} = 0$	A aeronave é simétrica em relação ao plano oxz
$I_{xz} = 0$	Magnitude desprezível
<i>Downwash</i> desprezível	Efeito de difícil implementação na modelagem proposta
Força de tração paralela ao eixo x_b	Posicionamento do motor
Motor não gera torque em torno do eixo x_b	Magnitude desprezível
Curva de tração do motor pode ser representada por uma equação de 2o grau	Representação considerada aceitável após realização de ensaios de tração com o motor em túnel de vento

6.6 Condições de trimagem

A condição inicial adotada para a modelagem proposta é a de uma aeronave trimada, ou seja, em equilíbrio. Assim, temos que:

$$\sum F = 0 \quad (6.7)$$

$$\sum M = 0 \quad (6.8)$$

Dadas as hipóteses simplificadoras da tabela 6.3, podemos considerar apenas as forças nos eixos x_f e z_f e os momentos em y_f . Chegamos então às seguintes equações no equilíbrio:

$$\sum F_{x_f} = T \cos \alpha_{trim} - D = 0 \quad (6.9)$$

$$\sum F_{z_f} = L - W + T \sin \alpha_{trim} = 0 \quad (6.10)$$

$$\sum M_{y_f} = M_{aer} - M_T = 0 \quad (6.11)$$

Podemos reescrevê-las a fim de se obter expressões para os coeficientes de sustentação, arrasto e momento.

$$T \cos \alpha_{trim} - D = 0 \rightarrow T \cos \alpha_{trim} - \frac{1}{2} \rho S C_D V_0^2 = 0 \rightarrow C_D = \frac{T \cos \alpha_{trim}}{\frac{1}{2} \rho S V_0^2} \quad (6.12)$$

$$L - W + T \sin \alpha_{trim} = 0 \rightarrow T \sin \alpha_{trim} - W + \frac{1}{2} \rho S C_L V_0^2 = 0 \rightarrow C_L = \frac{W}{\frac{1}{2} \rho S V_0^2} - \frac{T \sin \alpha_{trim}}{\frac{1}{2} \rho S V_0^2} \quad (6.13)$$

$$M_{aer} - M_T = 0 \rightarrow \frac{1}{2} \rho V^2 S \bar{c} C_M - T(h_{motor} - h_{CG}) = 0 \rightarrow C_M = \frac{T(h_{motor} - h_{CG})}{\frac{1}{2} \rho V^2 S \bar{c}} \quad (6.14)$$

Os coeficientes podem ser expandidos em série de Taylor, a fim de se iniciar o processo de linearização.

$$C_L = C_{L_0} + \frac{\partial C_L}{\partial \alpha} \alpha + \frac{\partial C_L}{\partial \delta_{prof}} \delta_{prof} + \frac{\partial C_L}{\partial q} q \quad (6.15)$$

$$C_D = C_{D_0} + \frac{\partial C_D}{\partial \alpha} \alpha + \frac{\partial C_D}{\partial \delta_{prof}} \delta_{prof} \quad (6.16)$$

$$C_M = C_{M_0} + \frac{\partial C_M}{\partial \alpha} \alpha + \frac{\partial C_M}{\partial \delta_{prof}} \delta_{prof} + \frac{\partial C_M}{\partial q} q \quad (6.17)$$

Efetuando aproximações para ângulos pequenos (visto que α é baixo para a etapa de voo analisada) e substituições para adequar as equações à condição de trimagem, chegamos finalmente às seguintes expressões linearizadas:

$$C_{L_0} + \frac{\partial C_L}{\partial \alpha} \alpha_{trim} + \frac{\partial C_L}{\partial \delta_{prof}} \delta_{proftrim} + \frac{\partial C_L}{\partial q} q_{trim} - \frac{W}{\frac{1}{2} \rho S V_0^2} + \frac{T \alpha_{trim}}{\frac{1}{2} \rho S V_0^2} = 0 \quad (6.18)$$

$$C_{D_0} + \frac{\partial C_D}{\partial \alpha} \alpha_{trim} + \frac{\partial C_D}{\partial \delta_{prof}} \delta_{proftrim} - \frac{T}{\frac{1}{2} \rho S V_0^2} = 0 \quad (6.19)$$

$$C_{M_0} + \frac{\partial C_M}{\partial \alpha} \alpha + \frac{\partial C_M}{\partial \delta_{prof}} \delta_{proftrim} + \frac{\partial C_M}{\partial q} q_{trim} - \frac{T(h_{motor} - h_{CG})}{\frac{1}{2} \rho V^2 S \bar{c}} = 0 \quad (6.20)$$

A definição da condição inicial é definida pelas quatro incógnitas do sistema formado pelas equações acima (T , α_{trim} , $\delta_{proftrim}$ e q_{trim}) e pela entrada V_0 . Ressalta-se que os valores das incógnitas são definidos não só pela solução da equação, mas também por limites físicos ($\alpha_{trim} < \alpha_{estol}$, por exemplo).

6.7 Equações do movimento

Assumindo um instante de tempo inicial na qual são conhecidas todas as variáveis de estado descritas na seção 6.2, pode-se determinar a velocidade e os ângulos aerodinâmicos para as componentes translacionais da velocidade:

$$V = \sqrt{u^2 + v^2 + w^2} \quad (6.21)$$

$$\alpha = \tan^{-1} \left(\frac{w}{u} \right) \quad (6.22)$$

$$\beta = \tan^{-1} \left(\frac{v}{u} \right) \quad (6.23)$$

Com base nisso, segundo [1], pode-se determinar as forças e momentos aerodinâmicos atuantes na aeronave em cada instante de tempo, e então escrever as derivadas de estado utilizando a segunda lei de Newton atrelada a uma formulação pelos ângulos de Euler, conforme sistema de eixos apresentado na Seção 6.1.

$$\begin{bmatrix} \dot{u} \\ \dot{v} \\ \dot{w} \end{bmatrix} = \frac{g}{W} \begin{bmatrix} F_{xb} \\ F_{yb} \\ F_{zb} \end{bmatrix} + g \begin{bmatrix} -S_\theta \\ S_\phi C_\theta \\ C_\phi C_\theta \end{bmatrix} + \begin{bmatrix} rv - uw \\ pw - ru \\ qu - pv \end{bmatrix} \quad (6.24)$$

$$\begin{bmatrix} \dot{p} \\ \dot{q} \\ \dot{r} \end{bmatrix} = \begin{bmatrix} I_{xx_b} & 0 & -I_{xz_b} \\ 0 & I_{yy_b} & 0 \\ -I_{zx_b} & 0 & I_{zz_b} \end{bmatrix}^{-1} \begin{bmatrix} M_{x_b} + (I_{yy_b} - I_{zz_b})qr + I_{xz_b}pq \\ M_{y_b} + (I_{zz_b} - I_{xx_b})pr + I_{xz_b}(r^2 - p^2) \\ M_{z_b} + (I_{xx_b} - I_{yy_b})pq - I_{xz_b}qr \end{bmatrix} \quad (6.25)$$

$$\begin{bmatrix} \dot{x}_f \\ \dot{y}_f \\ \dot{z}_f \end{bmatrix} = \begin{bmatrix} C_\theta C_\psi & S_\phi S_\theta C_\psi - C_\phi S_\psi & C_\phi S_\theta C_\psi + S_\phi S_\psi \\ C_\theta S_\psi & S_\phi S_\theta S_\psi + C_\phi C_\psi & C_\phi S_\theta S_\psi + S_\phi C_\psi \\ -S_\theta & S_\phi C_\theta & C_\phi C_\theta \end{bmatrix} \begin{bmatrix} u \\ v \\ w \end{bmatrix} \quad (6.26)$$

$$\begin{bmatrix} \dot{\phi} \\ \dot{\theta} \\ \dot{\psi} \end{bmatrix} = \begin{bmatrix} 1 & \frac{S_\phi S_\theta}{C_\theta} & \frac{C_\phi S_\theta}{C_\theta} \\ 0 & C_\phi & -S_\phi \\ 0 & \frac{S_\phi}{C_\theta} & \frac{C_\phi}{C_\theta} \end{bmatrix} \begin{bmatrix} p \\ q \\ r \end{bmatrix} \quad (6.27)$$

6.8 Linearização do problema

As equações matriciais apresentadas na seção anterior são não lineares, de modo que a obtenção de uma solução analítica é extremamente custosa ou mesmo impossível. Como forma de contornar o problema, escolhe-se pela linearização destas em torno de um ponto de interesse da análise. Para tanto, foi aplicado a teoria das pequenas perturbações, na qual descreve-se cada variável de interesse como o seu respectivo valor no estado de equilíbrio acrescido de um termo de perturbação:

$$B_i = B_{i0} + \Delta B_i \tag{6.28}$$

Considerando como estado equilíbrio o voo de cruzeiro, isto é, aeronave nivelada com velocidade constante no eixo x ("para frente") e rotações nulas. Como em cruzeiro a somatória das forças e momentos aerodinâmicos é igual a zero, tem-se:

$$u_0 = V_0 \tag{6.29}$$

$$x_0 = (V_{wx_f} + V_0 \cos \theta_0)t \tag{6.30}$$

$$y_0 = V_{wy_f}t \tag{6.31}$$

$$z_0 = (V_{wz_f} + V_0 \sin \theta_0)t \tag{6.32}$$

$$F_{xb_0} = -W_{xb_0} \tag{6.33}$$

$$F_{zb_0} = -W_{zb_0} \tag{6.34}$$

$$v_0 = w_0 = p_0 = q_0 = r_0 = \phi_0 = \psi_0 = F_{yb_0} = W_{yb_0} = M_0 = 0 \tag{6.35}$$

Utilizando os valores recém-determinados no estado de equilíbrio, pode-se escrever as variáveis na abordagem de pequenas perturbações como:

Tabela 6.4: Variáveis de Estado e auxiliares descritas pelo método das pequenas perturbações

Eixo X	Eixo Y	Eixo Z
$u = V_0 + \Delta u$	$v = \Delta v$	$w = \Delta w$
$p = \Delta p$	$q = \Delta q$	$r = \Delta r$
$x_f = (V_{wx_f} + V_0 \cos \theta_0)t + \Delta x_f$	$y_f = V_{wy_f}t + \Delta y_f$	$z_f = (V_{wz_f} + V_0 \sin \theta_0)t + \Delta z_f$
$\phi = \Delta \phi$	$\theta = \theta_0 + \Delta \theta$	$\psi = \Delta \psi$
$F_{xb} = -W_{xb_0} + \Delta F_{xb}$	$F_{yb} = \Delta F_{yb}$	$F_{zb} = -W_{zb_0} + \Delta F_{zb}$
$W_{yb} = W_{xb_0} + \Delta W_{xb}$	$W_{yb} = \Delta W_{yb}$	$W_{zb} = W_{zb_0} + \Delta W_{zb}$
$M_{xb} = \Delta M_{xb}$	$M_{yb} = \Delta M_{yb}$	$M_{zb} = \Delta M_{zb}$
Aileron	Profundor	Leme
$\delta_{ail} = \delta_{ail0} + \Delta \delta_{ail}$	$\delta_{prof} = \delta_{prof0} + \Delta \delta_{prof}$	$\delta_{leme} = \delta_{leme0} + \Delta \delta_{leme}$

Com base na Seção 6.7 e na Tabela 6.4, pode-se escrever a Segunda Lei de Newton na forma matricial para as derivadas de perturbação translacionais e rotacionais, assumindo que, por serem pequenas, o produto entre perturbações $\Delta v_i \Delta v_j$ pode ser negligenciado. Dessa forma, obtém-se a Equação 6.36:

$$\begin{bmatrix} \frac{W}{g} & 0 & 0 & 0 & 0 & 0 \\ 0 & \frac{W}{g} & 0 & 0 & 0 & 0 \\ 0 & 0 & \frac{W}{g} & 0 & 0 & 0 \\ 0 & 0 & 0 & I_{xx} & 0 & -I_{xz} \\ 0 & 0 & 0 & 0 & I_{yy} & 0 \\ 0 & 0 & 0 & -I_{xz} & 0 & I_{zz} \end{bmatrix} \begin{bmatrix} \Delta \dot{u} \\ \Delta \dot{v} \\ \Delta \dot{w} \\ \Delta \dot{p} \\ \Delta \dot{q} \\ \Delta \dot{r} \end{bmatrix} = \begin{bmatrix} \Delta F_x + \Delta W_x \\ \Delta F_y + \Delta W_y - \Delta r V_0 \frac{W}{g} \\ \Delta F_z + \Delta W_z + \Delta q V_0 \frac{W}{g} \\ \Delta M_x \\ \Delta M_y \\ \Delta M_z \end{bmatrix} \quad (6.36)$$

As forças e momentos aerodinâmicos são funções das velocidades lineares e angulares, da aceleração translacional e da deflexão das superfícies de comando. Aplicando a mesma hipótese de pequenas perturbações, pode-se escrevê-las matricialmente como:

- Forças Aerodinâmicas

$$\begin{bmatrix} \Delta F_x \\ \Delta F_y \\ \Delta F_z \end{bmatrix} = \begin{bmatrix} \frac{\partial F_x}{\partial u} & \frac{\partial F_x}{\partial v} & \frac{\partial F_x}{\partial w} \\ \frac{\partial F_y}{\partial u} & \frac{\partial F_y}{\partial v} & \frac{\partial F_y}{\partial w} \\ \frac{\partial F_z}{\partial u} & \frac{\partial F_z}{\partial v} & \frac{\partial F_z}{\partial w} \end{bmatrix} \begin{bmatrix} \Delta u \\ \Delta v \\ \Delta w \end{bmatrix} + \begin{bmatrix} \frac{\partial F_x}{\partial p} & \frac{\partial F_x}{\partial q} & \frac{\partial F_x}{\partial r} \\ \frac{\partial F_y}{\partial p} & \frac{\partial F_y}{\partial q} & \frac{\partial F_y}{\partial r} \\ \frac{\partial F_z}{\partial p} & \frac{\partial F_z}{\partial q} & \frac{\partial F_z}{\partial r} \end{bmatrix} \begin{bmatrix} \Delta p \\ \Delta q \\ \Delta r \end{bmatrix} + \quad (6.37)$$

$$\begin{bmatrix} \frac{\partial F_x}{\partial \dot{u}} & \frac{\partial F_x}{\partial \dot{v}} & \frac{\partial F_x}{\partial \dot{w}} \\ \frac{\partial F_y}{\partial \dot{u}} & \frac{\partial F_y}{\partial \dot{v}} & \frac{\partial F_y}{\partial \dot{w}} \\ \frac{\partial F_z}{\partial \dot{u}} & \frac{\partial F_z}{\partial \dot{v}} & \frac{\partial F_z}{\partial \dot{w}} \end{bmatrix} \begin{bmatrix} \Delta \dot{u} \\ \Delta \dot{v} \\ \Delta \dot{w} \end{bmatrix} + \begin{bmatrix} \frac{\partial F_x}{\partial \delta_{ail}} & \frac{\partial F_x}{\partial \delta_{prof}} & \frac{\partial F_x}{\partial \delta_r} \\ \frac{\partial F_y}{\partial \delta_{ail}} & \frac{\partial F_y}{\partial \delta_{prof}} & \frac{\partial F_y}{\partial \delta_r} \\ \frac{\partial F_z}{\partial \delta_{ail}} & \frac{\partial F_z}{\partial \delta_{prof}} & \frac{\partial F_z}{\partial \delta_r} \end{bmatrix} \begin{bmatrix} \Delta \delta_{ail} \\ \Delta \delta_{prof} \\ \Delta \delta_r \end{bmatrix}$$

- Momentos Aerodinâmicos

$$\begin{bmatrix} \Delta M_x \\ \Delta M_y \\ \Delta M_z \end{bmatrix} = \begin{bmatrix} \frac{\partial M_x}{\partial u} & \frac{\partial M_x}{\partial v} & \frac{\partial M_x}{\partial w} \\ \frac{\partial M_y}{\partial u} & \frac{\partial M_y}{\partial v} & \frac{\partial M_y}{\partial w} \\ \frac{\partial M_z}{\partial u} & \frac{\partial M_z}{\partial v} & \frac{\partial M_z}{\partial w} \end{bmatrix} \begin{bmatrix} \Delta u \\ \Delta v \\ \Delta w \end{bmatrix} + \begin{bmatrix} \frac{\partial M_x}{\partial p} & \frac{\partial M_x}{\partial q} & \frac{\partial M_x}{\partial r} \\ \frac{\partial M_y}{\partial p} & \frac{\partial M_y}{\partial q} & \frac{\partial M_y}{\partial r} \\ \frac{\partial M_z}{\partial p} & \frac{\partial M_z}{\partial q} & \frac{\partial M_z}{\partial r} \end{bmatrix} \begin{bmatrix} \Delta p \\ \Delta q \\ \Delta r \end{bmatrix} + \quad (6.38)$$

$$\begin{bmatrix} \frac{\partial M_x}{\partial \dot{u}} & \frac{\partial M_x}{\partial \dot{v}} & \frac{\partial M_x}{\partial \dot{w}} \\ \frac{\partial M_y}{\partial \dot{u}} & \frac{\partial M_y}{\partial \dot{v}} & \frac{\partial M_y}{\partial \dot{w}} \\ \frac{\partial M_z}{\partial \dot{u}} & \frac{\partial M_z}{\partial \dot{v}} & \frac{\partial M_z}{\partial \dot{w}} \end{bmatrix} \begin{bmatrix} \Delta \dot{u} \\ \Delta \dot{v} \\ \Delta \dot{w} \end{bmatrix} + \begin{bmatrix} \frac{\partial M_x}{\partial \delta_{ail}} & \frac{\partial M_x}{\partial \delta_{prof}} & \frac{\partial M_x}{\partial \delta_r} \\ \frac{\partial M_y}{\partial \delta_{ail}} & \frac{\partial M_y}{\partial \delta_{prof}} & \frac{\partial M_y}{\partial \delta_r} \\ \frac{\partial M_z}{\partial \delta_{ail}} & \frac{\partial M_z}{\partial \delta_{prof}} & \frac{\partial M_z}{\partial \delta_r} \end{bmatrix} \begin{bmatrix} \Delta \delta_{ail} \\ \Delta \delta_{prof} \\ \Delta \delta_r \end{bmatrix}$$

Ao assumir a hipótese de pequenas perturbações, bem como ao se desprezar o *Downwash*, pode-se desprezar algumas das derivadas parciais presentes na descrição das forças e momentos em função das acelerações translacionais:

$$\frac{\partial F_y}{\partial \dot{u}} = \frac{\partial F_x}{\partial \dot{v}} = \frac{\partial F_y}{\partial \dot{v}} = \frac{\partial F_z}{\partial \dot{v}} = \frac{\partial F_y}{\partial \dot{w}} = 0 \quad (6.39)$$

$$\frac{\partial M_x}{\partial \dot{u}} = \frac{\partial M_z}{\partial \dot{u}} = \frac{\partial M_x}{\partial \dot{v}} = \frac{\partial M_y}{\partial \dot{v}} = \frac{\partial M_z}{\partial \dot{v}} = \frac{\partial M_x}{\partial \dot{w}} = \frac{\partial M_z}{\partial \dot{w}} = 0 \quad (6.40)$$

Outras derivadas parciais podem ser desprezadas em virtude da condição de simetria do problema, assumindo o estado de equilíbrio da aeronave anteriormente exposto, uma vez que todas as derivadas são calculadas em relação a esse estado. Dessa forma:

$$\frac{\partial F_x}{\partial v} = \frac{\partial F_y}{\partial u} = \frac{\partial F_y}{\partial w} = \frac{\partial F_z}{\partial v} = 0 \quad (6.41)$$

$$\frac{\partial M_x}{\partial u} = \frac{\partial M_x}{\partial w} = \frac{\partial M_y}{\partial v} = \frac{\partial M_z}{\partial u} = \frac{\partial M_z}{\partial w} = 0 \quad (6.42)$$

$$\frac{\partial F_x}{\partial p} = \frac{\partial F_x}{\partial r} = \frac{\partial F_y}{\partial q} = \frac{\partial F_z}{\partial p} = \frac{\partial F_z}{\partial r} = 0 \quad (6.43)$$

$$\frac{\partial M_x}{\partial q} = \frac{\partial M_y}{\partial p} = \frac{\partial M_y}{\partial r} = \frac{\partial M_z}{\partial q} = 0 \quad (6.44)$$

$$\frac{\partial F_x}{\partial \delta_{ail}} = \frac{\partial F_x}{\partial \delta_r} = \frac{\partial F_y}{\partial \delta_{prof}} = \frac{\partial F_z}{\partial \delta_{ail}} = \frac{\partial F_z}{\partial \delta_r} = 0 \quad (6.45)$$

$$\frac{\partial F_y}{\partial \delta_{prof}} = \frac{\partial F_y}{\partial \delta_{ail}} = \frac{\partial F_y}{\partial \delta_r} = \frac{\partial F_y}{\partial \delta_{prof}} = 0 \quad (6.46)$$

Considerando agora a descrição da força peso da aeronave, cuja direção varia em função dos ângulos de Euler, pode-se escrevê-la matricialmente como:

$$\begin{bmatrix} W_x \\ W_y \\ W_z \end{bmatrix} = W \begin{bmatrix} -\text{sen}\theta \\ \text{sen}\phi \text{cos}\theta \\ \text{cos}\phi \text{cos}\theta \end{bmatrix} \quad (6.47)$$

Assumindo então a condição de equilíbrio e a abordagem por pequenas perturbações, pode-se determinar a componente perturbada do peso nas três direções do espaço:

$$\begin{bmatrix} \Delta W_x \\ \Delta W_y \\ \Delta W_z \end{bmatrix} = \begin{bmatrix} \frac{\partial W_x}{\partial \phi} & \frac{\partial W_x}{\partial \theta} & \frac{\partial W_x}{\partial \psi} \\ \frac{\partial W_y}{\partial \phi} & \frac{\partial W_y}{\partial \theta} & \frac{\partial W_y}{\partial \psi} \\ \frac{\partial W_z}{\partial \phi} & \frac{\partial W_z}{\partial \theta} & \frac{\partial W_z}{\partial \psi} \end{bmatrix} \begin{bmatrix} \Delta \phi \\ \Delta \theta \\ \Delta \psi \end{bmatrix} = \begin{bmatrix} 0 & -W \text{cos}\theta_0 & 0 \\ W \text{cos}\theta_0 & 0 & 0 \\ 0 & -W \text{sen}\theta_0 & 0 \end{bmatrix} \begin{bmatrix} \Delta \phi \\ \Delta \theta \\ \Delta \psi \end{bmatrix} \quad (6.48)$$

Assumindo então aproximações para pequenos ângulos para o processo de linearização:

$$\text{sen}\phi \cong \Delta \phi, \text{sen}\theta \cong \text{sen}\theta_0 + \text{cos}\theta_0 \Delta \theta, \text{sen}\psi \cong \Delta \psi \quad (6.49)$$

$$\text{cos}\phi \cong 1, \text{cos}\theta \cong \text{cos}\theta_0 - \text{sen}\theta_0 \Delta \theta, \text{cos}\psi \cong 1 \quad (6.50)$$

E substituindo-as nas expressões anteriormente obtidas, pode-se finalmente representar as equações do movimento longitudinal do avião em cruzeiro linearizadas e na forma matricial da maneira apresentada abaixo (note que a notação do tipo \bar{F}_{ij} indica $\frac{\partial F_i}{\partial j}$).

$$\begin{bmatrix} \frac{W}{g} & 0 & 0 & 0 & 0 & 0 \\ 0 & \frac{W}{g} & 0 & 0 & 0 & 0 \\ 0 & 0 & I_{yy} & 0 & 0 & 0 \\ 0 & 0 & 0 & 1 & 0 & 0 \\ 0 & 0 & 0 & 0 & 1 & 0 \\ 0 & 0 & 0 & 0 & 0 & 1 \end{bmatrix} \begin{bmatrix} \Delta \dot{u} \\ \Delta \dot{w} \\ \Delta \dot{q} \\ \Delta \dot{x}_f \\ \Delta \dot{z}_f \\ \Delta \dot{\theta} \end{bmatrix} = \begin{bmatrix} \bar{F}_{xu} & \bar{F}_{xw} & \bar{F}_{xq} & 0 & 0 & -W \text{cos}\theta_0 \\ \bar{F}_{zu} & \bar{F}_{zw} & \bar{F}_{zq} + \frac{WV_0}{g} & 0 & 0 & -W \text{sen}\theta_0 \\ \bar{M}_{yu} & \bar{M}_{yw} & \bar{M}_{yq} & 0 & 0 & 0 \\ \text{cos}\theta_0 & \text{sen}\theta_0 & 0 & 0 & 0 & -V_0 \text{sen}\theta_0 \\ -\text{sen}\theta_0 & \text{cos}\theta_0 & 0 & 0 & 0 & -V_0 \text{cos}\theta_0 \\ 0 & 0 & 1 & 0 & 0 & 0 \end{bmatrix} \begin{bmatrix} \Delta u \\ \Delta w \\ \Delta q \\ \Delta x_f \\ \Delta z_f \\ \Delta \theta \end{bmatrix} + \begin{bmatrix} \bar{F}_{x\delta_{prof}} \\ \bar{F}_{z\delta_{prof}} \\ \bar{M}_{y\delta_{prof}} \\ 0 \\ 0 \\ 0 \end{bmatrix} \Delta \delta_{prof} \quad (6.51)$$

6.9 Modelagem aerodinâmica

Nesta seção será abordada a obtenção das derivadas aerodinâmicas relevantes aos equacionamentos matemáticos apresentados nas seções anteriores, tomando como principal referência os desenvolvimentos feitos por [1]), já introduzido na seção de revisão bibliográfica.

6.9.1 Coeficientes aerodinâmicos

O conhecimento do comportamento dos coeficientes aerodinâmicos para simulação da modelagem abordada neste relatório é de extrema importância, principalmente no que tange aos coeficientes de arrasto (C_D), de sustentação (C_L) e de momento (C_M).

Estes últimos coeficientes são dependentes de alguns outros parâmetros, dentre eles o número de Reynolds (Re), a taxa de arfagem, a deflexão das superfícies de comando, o ângulo de ataque (α) e o número de Mach. Entretanto, como será abordada uma aeronave não supersônica, com velocidade máxima de 23 m/s (fornecido pela equipe Keep Flying), pode-se desprezar a influência do número de Mach e adotar comportamento constante no intervalo de Reynolds a ser considerado.

Assim, pode-se dizer que os coeficientes buscados dependem somente da deflexão das superfícies de comando, da taxa de arfagem e do ângulo de ataque. Com isto, pode-se obter os valores numéricos dos coeficientes necessários através de alguns métodos, como o CFD, o VLM e por meio de ensaios em túneis de vento; métodos estes utilizados para a obtenção dos coeficientes a serem empregados na modelagem em desenvolvimento, além de métodos analíticos para a obtenção de derivadas destes coeficientes.

6.9.2 Cálculos iniciais

Antes de prosseguir com a modelagem da aeronave, é fundamental obter algumas relações entre variáveis que serão utilizadas durante os cálculos:

$$\frac{\partial v}{\partial u} = \frac{u}{v} = \cos \alpha \approx 1 \quad (6.52)$$

$$\frac{\partial \alpha}{\partial u} = \frac{-\sin \alpha}{v} \approx 0 \quad (6.53)$$

$$\frac{\partial v}{\partial W} = \frac{W}{v} = \sin \alpha \approx 0 \quad (6.54)$$

$$\frac{\partial \alpha}{\partial W} = \frac{\cos \alpha}{v} \approx \frac{1}{v} \quad (6.55)$$

$$\frac{\partial C_D}{\partial u} = \frac{\partial C_D}{\partial v} = 0 \quad (6.56)$$

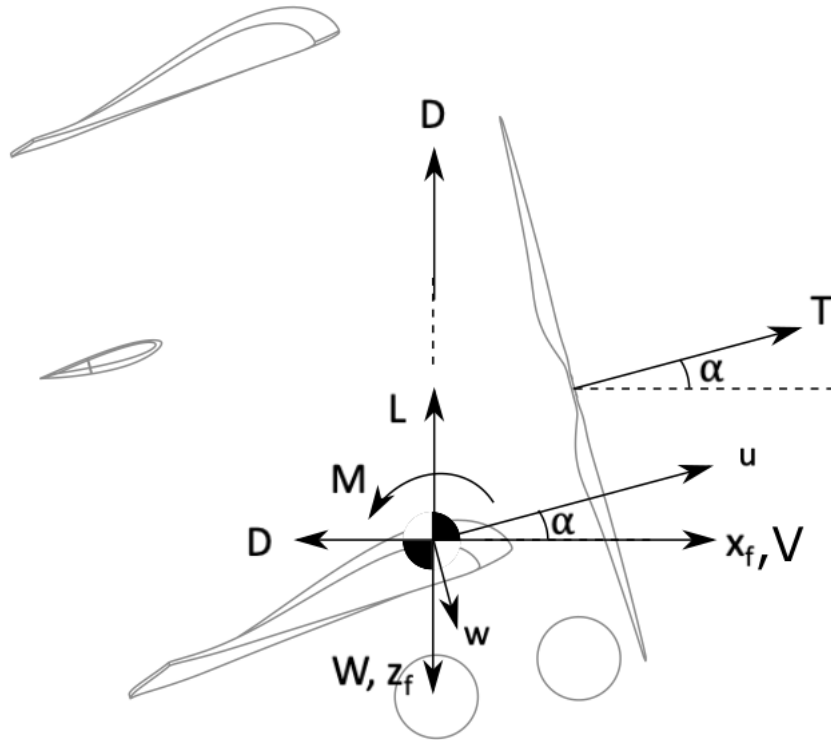


Figura 6.4: Diagrama de corpo livre da aeronave

6.9.3 Força e momento resultante na aeronave

Com as forças definidas nas Seções 6.3 e 6.4, os ângulos obtidos na Seção 6.9.2 e aplicando as hipóteses simplificadoras descritas na Seção 6.3, é possível desenvolver as expressões das forças e momentos resultantes na aeronave.

- Força resultante em x_b :

$$F_x = \frac{1}{2}\rho V^2 S [C_L \sin(\alpha) - C_D \cos(\alpha)] + T \cos(\alpha_{T0}) - W \sin(\theta)$$

$$F_x = \frac{1}{2}\rho V^2 S [C_L \sin(\alpha) - C_D \cos(\alpha)] + T - W \sin(\theta) \quad (6.57)$$

- Força resultante em y_b :

$$F_y = 0 \quad (6.58)$$

- Força resultante em z_b :

$$F_z = \frac{1}{2}\rho V^2 S [-C_L \cos(\alpha) - C_D \sin(\alpha)] - T \sin(\alpha_{T0}) + W \cos(\phi) \cos(\theta)$$

$$F_z = \frac{1}{2}\rho V^2 S [-C_L \cos(\alpha) - C_D \sin(\alpha)] + W \cos(\phi) \cos(\theta) \quad (6.59)$$

- Momento resultante em x_b :

$$M_x = 0 \quad (6.60)$$

- Momento resultante em y_b :

$$M_y = \frac{1}{2}\rho V^2 S \bar{c} C_m + T[z_T \cos(\alpha_{T0}) + x_T \sin(\alpha_{T0})]$$

$$M_y = \frac{1}{2}\rho V^2 S \bar{c} C_m + T z_T \quad (6.61)$$

- Momento resultante em z_b :

$$M_z = 0 \quad (6.62)$$

6.9.4 Derivadas Devido a Perturbações de Velocidade

Obteve-se as derivadas de estabilidade por meio da diferenciação das forças e momentos resultantes em relação a u e w .

$$\bar{F}_{xu} = \frac{\partial}{\partial u} \frac{1}{2} \rho V^2 S [C_L \sin(\alpha) - C_D \cos(\alpha)] + \frac{\partial}{\partial u} T - \frac{\partial}{\partial u} W \sin(\theta)$$

Sendo:

$$A = \frac{\partial}{\partial u} V^2 [C_L \sin(\alpha) - C_D \cos(\alpha)]$$

$$\frac{\partial A}{\partial u} = \frac{\partial V^2}{\partial u} (C_L \sin \alpha - C_D \cos \alpha) + V^2 \left(\frac{\partial C_L}{\partial u} \sin \alpha + C_L \cos \alpha \frac{\partial \alpha}{\partial u} - \frac{\partial C_D}{\partial u} \cos \alpha + C_D \sin \alpha \frac{\partial \alpha}{\partial u} \right)$$

$$\frac{\partial A}{\partial u} = -\frac{1}{2} \rho S V^2 \frac{\partial C_D}{\partial V} - \rho S V C_D$$

$$\bar{F}_{xu} = -\frac{1}{2} \rho S V^2 \frac{\partial C_D}{\partial V} - \rho S V C_D + \frac{\partial T}{\partial u}$$

$$\frac{\partial C_D}{\partial V} = 0 \rightarrow -\frac{1}{2} \rho S V^2 \frac{\partial C_D}{\partial V} = 0$$

$$\bar{F}_{xu} = -\rho S V C_D + \frac{\partial T}{\partial u} \quad (6.63)$$

Realizando-se o mesmo procedimento para as demais derivadas, obteve-se os resultados da Tabela 6.5.

Tabela 6.5: Parâmetros numéricos utilizados

Derivada	Expressão
\bar{F}_{xu}	$-\rho SV C_D + \frac{\partial T}{\partial u}$
\bar{F}_{zu}	$-\rho SV C_L$
\bar{M}_{yu}	$\rho V S \bar{c} C_M + \frac{\partial T}{\partial V} z_T$
\bar{F}_{xw}	$\frac{1}{2} \rho SV \left(C_L - \frac{\partial C_D}{\partial \alpha} \right)$
\bar{F}_{zw}	$\frac{1}{2} \rho SV \left(-C_D - \frac{\partial C_L}{\partial \alpha} \right)$
\bar{M}_{yw}	$\frac{1}{2} \rho SV \bar{c} \frac{\partial C_M}{\partial \alpha}$

6.9.5 Derivadas com relação à taxa de arfagem

Começando pela derivada com relação à força F_x , que ocorre pela variação de arrasto visto a mudança de incidência das asas e da cauda, verifica-se que, segundo (Phillips, 2010), essa derivada pode ser desprezada visto que o ganho de arrasto é um efeito pequeno, assim:

$$\frac{\partial F_x}{\partial q} = \bar{F}_{xq} = -\frac{1}{2} \rho V^2 S \frac{\partial C_D}{\partial q} = 0 \quad (6.64)$$

Para as demais derivadas, será calculada a contribuição da cauda e de cada uma das asas separadamente, considerando a distância do CG ao centro aerodinâmico de cada superfície sustentadora. Na descrição matemática será utilizado o subscrito 1 para dados referentes à asa inferior e 2 para a asa superior. Assim, para a força F_z , tem-se a seguinte definição para a derivada.

$$\frac{\partial F_z}{\partial q} = \bar{F}_{zq} = \frac{1}{2} \rho V \left(S x_1 \frac{\partial C_{L1}}{\partial \alpha} + S x_2 \frac{\partial C_{L2}}{\partial \alpha} + \eta_h S_h x_h \frac{\partial C_{Lh}}{\partial \alpha} \right) \quad (6.65)$$

Para o momento M_y tem-se a seguinte expressão.

$$\frac{\partial M_y}{\partial q} = \bar{M}_{yq} = -\frac{1}{2} \rho V \left(S x_1^2 \frac{\partial C_{L1}}{\partial \alpha} + S x_2^2 \frac{\partial C_{L2}}{\partial \alpha} + \eta_h S_h x_h^2 \frac{\partial C_{Lh}}{\partial \alpha} \right) \quad (6.66)$$

6.9.6 Derivadas com relação às perturbações das superfícies de controle

Para as perturbações em função das superfícies de controle, obteve-se as derivadas seguindo o mesmo procedimento realizado nas Seções anteriores. Os resultados obtidos estão na Tabela 6.6.

Tabela 6.6: Parâmetros numéricos utilizados

Derivada	Expressão
$\bar{F}_{x\delta_{prof}}$	$-\frac{1}{2}\rho SV \frac{\partial C_D}{\partial \delta_{prof}}$
$\bar{F}_{z\delta_{prof}}$	$-\frac{1}{2}\rho SV \frac{\partial C_L}{\partial \delta_{prof}}$
$\bar{M}_{y\delta_{prof}}$	$\frac{1}{2}\rho SV \bar{c} \frac{\partial C_L}{\partial \delta_{prof}}$

7 Solução da modelagem da aeronave

7.1 Transformada de Laplace e funções de transferência

Para a obtenção das funções de transferência relacionadas às variáveis consideradas nas equações linearizadas representativas do sistema estudado, é primeiramente necessário a aplicação da transformada de Laplace. De maneira geral, um sistema na forma de espaço de estados pode ser representado na forma indicada a seguir (A, B, C e D são matrizes, $p(t)$ é o vetor das variáveis de estado estudadas, $u(t)$ é o vetor de entradas e $y(t)$ é o vetor das saídas).

$$\dot{p}(t) = Ap(t) + Bu(t)$$

$$y(t) = Cp(t) + Du(t)$$

Aplicando a transformada de Laplace já assumindo condições iniciais nulas, obtém-se o seguinte resultado.

$$sP(s) = AP(s) + BU(s) \quad (7.1)$$

$$Y(s) = CP(s) + DU(s) \quad (7.2)$$

As funções de transferência podem ser obtidas observando-se a função que relaciona a entrada $U(s)$ com a saída do sistema $Y(s)$. Primeiramente altera-se levemente a equação 7.1 como feito logo a seguir.

$$sP(s) - AP(s) = BU(s) \Rightarrow (sI - A)P(s) = BU(s) \Rightarrow P(s) = (sI - A)^{-1}BU(s) \quad (7.3)$$

Substituindo o resultado mais à direita da equação 7.3 na equação 7.2 obtém-se a seguinte expressão.

$$Y(s) = [C(sI - A)^{-1}B + D]U(s) \quad (7.4)$$

Logo, dos desenvolvimentos anteriores, pode-se concluir que as funções de transferências $G(s)$ são dadas da maneira abaixo.

$$G(s) = [C(sI - A)^{-1}B + D] \quad (7.5)$$

Impondo que a saída do sistema $Y(s)$ represente cada uma das variáveis de estado, pode-se simplificar a expressão dada por 7.5, já que dessa forma a matriz C será uma matriz do tipo identidade e D será uma matriz nula.

$$G(s) = (sI - A)^{-1}B \quad (7.6)$$

Utilizando a definição do sistema de equações linearizadas na forma matricial definida na seção 6.8, pode-se chegar às funções de transferência para a modelagem abordada neste relatório na forma literal. Mais adiante na seção 7.2.2 serão apresentadas as funções de transferência já com os valores numéricos substituídos.

Note ainda que o termo $(sI - A)^{-1}$ da equação 7.6 tem uma representação própria, como pode ser observado abaixo.

$$(sI - A)^{-1} = \frac{\text{Adj}(sI - A)}{|sI - A|} = \frac{\text{Adj}(sI - A)}{\det(sI - A)} \quad (7.7)$$

Da equação 7.7 é possível obter a equação característica a partir da qual se pode obter os polos do sistema resolvendo-se a seguinte equação a seguir.

$$\det(sI - A) = 0 \quad (7.8)$$

É importante ressaltar que a equação característica do sistema estará presente nos denominadores de todas as funções de transferência das variáveis a serem estudadas, sendo portanto comum a todas estas funções.

7.2 Parâmetros numéricos

Na tabela 7.1 encontram-se os valores numéricos - fornecidos pela Keep Flying - a serem empregados na modelagem do sistema desenvolvido ao longo do relatório.

Tabela 7.1: Valores numéricos utilizados

Parâmetro	Valor	Parâmetro	Valor
m	20 kg	C_{L_0}	0,4900
g	9,8100 m/s ²	$C_{L_{max}}$	1,4700
ρ	1,1062 kg/m ³	C_{L_α}	3,9400
S	3,2000 m ²	$C_{L_{h\alpha}}$	0,3110
V	15,7500 m/s	$C_{L_{l\alpha}}$	1,9108
\bar{c}	0,2340 m	$C_{L_{2\alpha}}$	1,7226
x_{CG}	0,1509 m	$C_{L_{\delta_{prof}}}$	-0,3538
x_1	-0,0059 m	C_{L_q}	0,0380
x_2	-0,1242 m	C_{D_0}	0,0600
x_h	-0,2561 m	C_{D_α}	0,2180
z_{motor}	0,4438 m	$C_{D_{\delta_{prof}}}$	-0,0080
z_{CG}	0,4384 m	C_{D_q}	0,0049
S_h	0,3387 m ²	C_{M_0}	0,0600
I_{yy}	1,3600 kg.m ²	C_{M_α}	-0,3846
η_h	1	$C_{M_{\delta_{prof}}}$	0,3470
$\frac{\partial T}{\partial V}$	-1,7464 kg/s	C_{M_q}	-0,0187

É importante ressaltar que η_h tem valor igual a 1 devido ao fato de os coeficientes aerodinâmicos serem obtidos através de um *VLM* que já considera a interferência das asas na empenagem horizontal no cálculo dos coeficientes aerodinâmicos.

7.2.1 Substituição dos valores numéricos no sistema linearizado

Com a substituição dos parâmetros numéricos apresentados na tabela 7.1 nas matrizes do sistema linearizado (equação 6.51) é possível obter-se o seguinte sistema de equações diferenciais do movimento na forma matricial.

$$\begin{bmatrix} \Delta \dot{u} \\ \Delta \dot{w} \\ \Delta \dot{q} \\ \Delta \dot{x}_f \\ \Delta \dot{z}_f \\ \Delta \dot{\theta} \end{bmatrix} = \begin{bmatrix} -0,2534 & 0,3190 & -0,3257 & 0 & 0 & -9,8099 \\ -1,2457 & -5,5746 & 15,4243 & 0 & 0 & -0,0409 \\ 0,0070 & -1,8447 & -0,5903 & 0 & 0 & 0,0656 \\ 1,0000 & 0,0042 & 0 & 0 & 0 & -0,0656 \\ -0,0042 & 1,0000 & 0 & 0 & 0 & -15,7499 \\ 0 & 0 & 1,0000 & 0 & 0 & 0 \end{bmatrix} \begin{bmatrix} \Delta u \\ \Delta w \\ \Delta q \\ \Delta x_f \\ \Delta z_f \\ \Delta \theta \end{bmatrix} + \begin{bmatrix} 0,1756 \\ 7,7668 \\ -26,2133 \\ 0 \\ 0 \\ 0 \end{bmatrix} \Delta \delta_{prof} \quad (7.9)$$

7.2.2 Obtenção das funções de transferência

A partir das matrizes sistema linearizado já com os valores numéricos definidos, é possível empregar a fórmula apresentada na equação 7.5 para obter-se as funções de transferência relativas as variáveis estudadas. Entretanto, com o auxílio da função *ss2tf* é possível obter as funções de transferência requeridas de forma direta. Dessa forma, tem-se as seguintes funções de transferência apresentadas logo a seguir.

- Para a variável u : $G_u(s) = \frac{0,2s^5 + 12,1s^4 + 187,5s^3 + 1574,4s^2}{s^6 + 6,4183s^5 + 33,7051s^4 + 8,9966s^3 + 22,9044s^2}$
- Para a variável w : $G_w(s) = \frac{7,8s^5 - 398s^4 - 110,9s^3 - 319,5s^2}{s^6 + 6,4183s^5 + 33,7051s^4 + 8,9966s^3 + 22,9044s^2}$
- Para a variável q : $G_q(s) = \frac{-26,2s^5 - 167,1s^4 - 50,6s^3}{s^6 + 6,4183s^5 + 33,7051s^4 + 8,9966s^3 + 22,9044s^2}$
- Para a variável x_f : $G_{x_f}(s) = \frac{0,2s^4 + 12,2s^3 + 198s^2 + 1576,4s}{s^6 + 6,4183s^5 + 33,7051s^4 + 8,9966s^3 + 22,9044s^2}$
- Para a variável z_f : $G_{z_f}(s) = \frac{7,8s^4 + 14,8s^3 + 2520s^2 + 471,5s}{s^6 + 6,4183s^5 + 33,7051s^4 + 8,9966s^3 + 22,9044s^2}$
- Para a variável θ : $G_{\theta}(s) = \frac{-26,2s^4 - 167,1s^3 - 50,6s^2}{s^6 + 6,4183s^5 + 33,7051s^4 + 8,9966s^3 + 22,9044s^2}$

7.3 Análise de estabilidade, polos e zeros do sistema

Para analisar a estabilidade do sistema, deve-se encontrar, a partir da função de transferência determinada anteriormente, os zeros e polos do sistema. Para a função de transferência em questão, obteve-se a Figura 7.1.

Primeiramente, a análise dos polos indica que o sistema é marginalmente estável, uma vez que não há polos com componente real positiva e há polos com componente real nula.

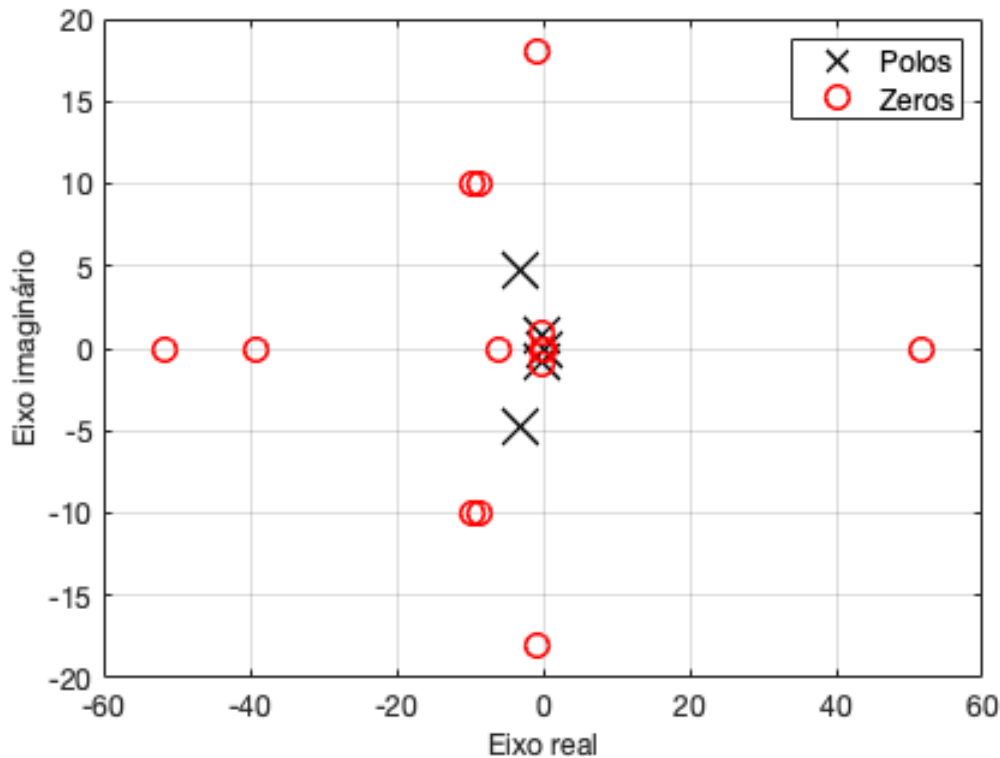


Figura 7.1: Diagrama de polos e zeros

Passando para a análise dos zeros, primeiramente serão tecidos comentários sobre a função de transferência da variável u . Nota-se que esta possui zeros em $-42,935$, $-8,7825 - 10,306i$, 0 e $-8,7825 + 10,306i$. Quando se compara estes zeros com os polos dominantes do sistema que são $-3,13905 - 4,71755i$ e $-3,13905 + 4,71755i$ pode-se perceber que os zeros relacionados à variável u , excetuando-se o zero nulo, são zeros rápidos estáveis e não interferem na resposta do sistema.

Com relação à variável w , os zeros são $-0,146304 - 0,881352i$, $-0,146304 + 0,881352i$ (zeros lentos e estáveis, e que portanto geram sobressinal), 0 , e $51,3182$ (zero rápido, porém instável por ter parte real positiva, logo levando o sistema a um *undershoot*).

Já para a variável q , tem-se que os zeros da função de transferência são $-6,05912$, $-0,318742$ e 0 . O primeiro se trata de um zero rápido e estável que não interfere na resposta do sistema e o segundo é um zero lento e estável que gera sobressinal.

Ademais, para a variável x_f , os zeros da função de transferência se dão em $-41,8414$, $-9,57929 - 9,8293i$, $-9,57929 + 9,8293i$ e 0 . Todos os três primeiros zeros listados neste caso são zeros rápidos e não interferem no sistema.

Para a função de transferência referente à variável z_f os zeros são $-0,855074 - 17,9451i$, $-0,855074 + 17,9451i$, $-0,187289$ e 0 . Neste caso, todos os três primeiros zeros apresentados são zeros lentos e estáveis, gerando sobressinal.

Por fim, em relação à variável θ , os zeros da correspondente função de transferência são $-6,05912$, $0,318742$ e 0 . O primeiro valor é um zero rápido e sem interferência no sistema e o segundo se trata de um zero lento, porém estável, o que implica que este induz um sobressinal.

7.3.1 Aplicação do critério de Routh-Hurwitz

Uma outra forma de analisar a estabilidade do sistema é através do método de Routh-Hurwitz. Nessa abordagem, não é necessário calcular os polos da equação característica do sistema, uma vez que a análise é feita através da disposição dos coeficientes da equação no que se chama de Arranjo de Routh. As sucessivas linhas desse arranjo são determinadas por relações entre os termos anteriores, de modo que a última linha contenha apenas um elemento. Para o sistema analisando, obteve-se:

Tabela 7.2: Critério de Routh-Hurwitz

s^n	Coefficientes			
s^6	1	33,7051	22,9044	0
s^5	6,4183	8,9966	0	0
s^4	32,30	22,90	0	0
s^3	4,45	0	0	0
s^2	22,90	0	0	0
s^1	0	0	0	0
s^0	0	0	0	0

Nota-se que a equação característica do sistema (denominadores das funções de transferência) apresenta dois coeficientes nulos, o que indica que o sistema pode ser marginalmente estável. Logo cabe construir a tabela 7.3.1 correspondente à aplicação do critério de *Routh-Hurwitz*. Nesta tabela é possível notar que a primeira coluna apresenta zeros. Se fizermos a substituição do primeiro zero presente na primeira coluna por uma pequena constante arbitrária e continuarmos o processo, ainda terá-se no fim um zero na primeira coluna (que também pode ser substituído por outra constante). No entanto, a conclusão mais importante à qual se chega sobre a tabela 7.3.1 da maneira em que esta se encontra exibida, é o fato de aparecer uma linha inteira de zeros e não haver mudança de sinal na primeira coluna, o que indica que o sistema é, de fato, marginalmente estável.

7.4 Análise de Frequência pelo diagrama de Bode

O diagrama de Bode é mais uma ferramenta que permite analisar a dinâmica do sistema e obter informações a respeito da sua estabilidade e do seu amortecimento. Para tanto, há o enfoque no espaço de frequências do problema submetido a uma entrada senoidal. Para esta tarefa, foi utilizado o comando *bode* já presente na documentação do MATLAB, que retorna, para cada variável de estado, um gráfico relativo ao ganho e outro relativo à fase.

7.4.1 Diagramas de Bode

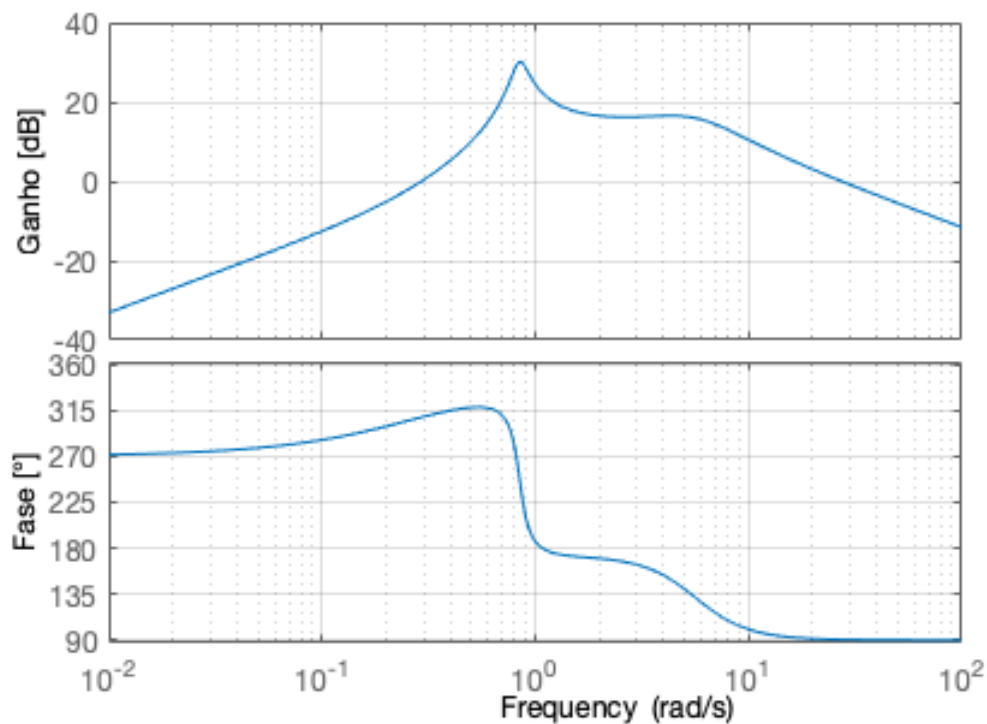


Figura 7.2: Diagrama de Bode na variável q

Verificou-se pelo formato dos picos no gráfico do ganho um amortecimento para curto período superior ao para o efeito de fuga. Já quanto à fase verificou-se que não houve mudança de fase, assim existe controlabilidade do comando de entrada.

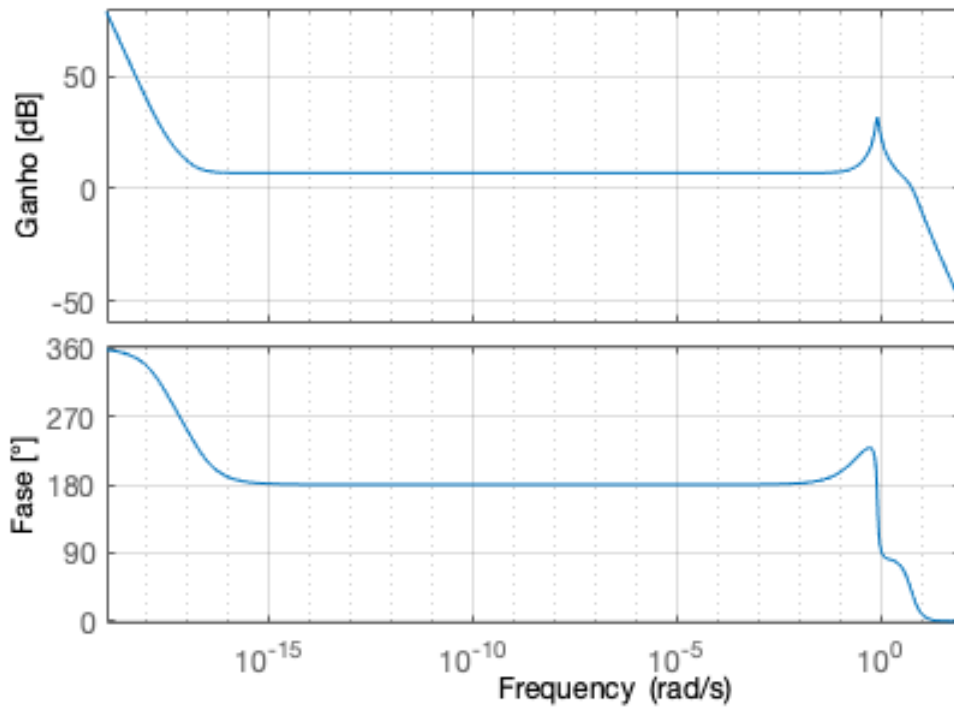


Figura 7.3: Diagrama de Bode na variável θ

Analisando a fase do diagrama, é possível verificar uma iminente inversão de fase, o que pode ser justificado pela alta complexidade do projeto e pelas aeronaves do Aerodesign se encontrarem em seu limite operacional, operando com pequenas margens de segurança.

7.5 Comparação entre o modelo linear e o não linear

Visando compreender melhor a dinâmica do problema analisado, foram realizadas análises a respeito do comportamento da aeronave em cruzeiro quando submetida a três tipos de perturbações do profundor: Impulso, Degrau e Rampa. Foram considerados um modelo linear e um modelo não linear de modo a possibilitar uma posterior comparação dos resultados encontrados e uma avaliação da linearização empregada.

7.5.1 Perturbação do tipo degrau

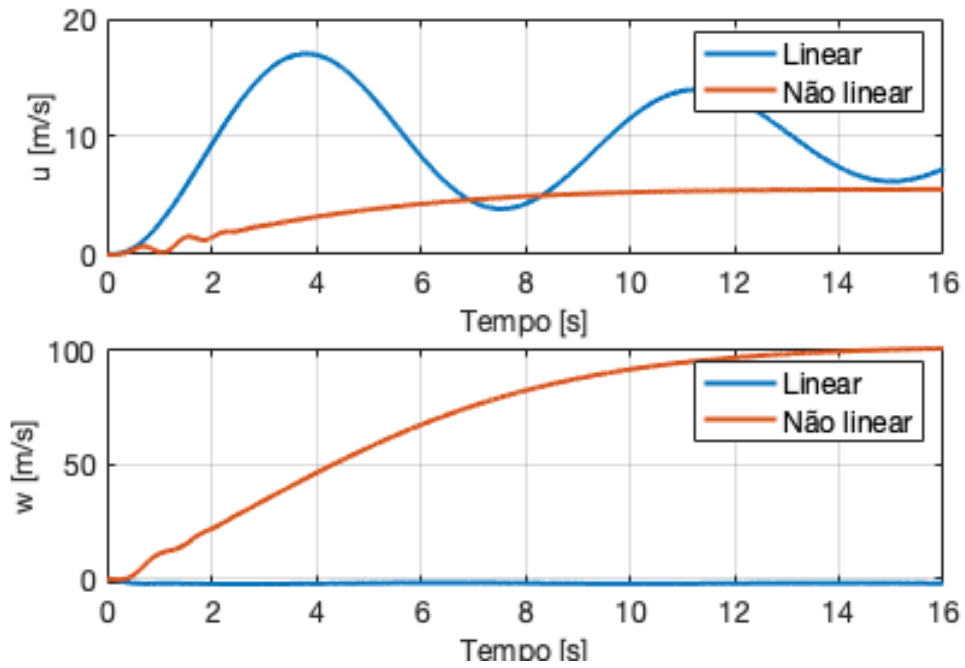


Figura 7.4: Comparação entre o modelo linear e não linear para uma perturbação degrau

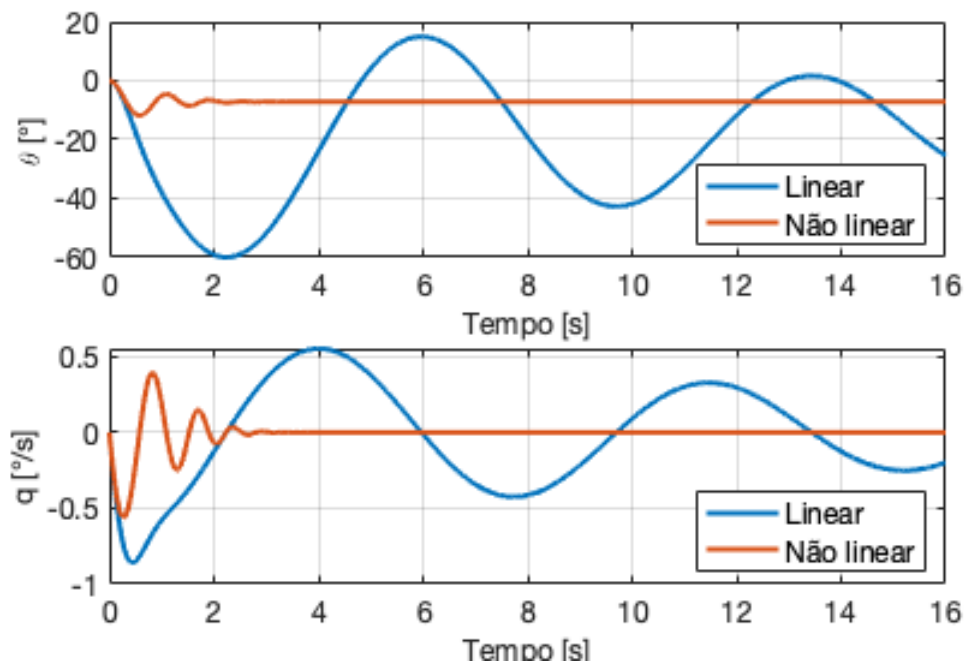


Figura 7.5: Comparação entre o modelo linear e não linear para uma perturbação degrau

Analisando as respostas dos modelos linear e não-linear para uma excitação degrau, nota-se que a abordagem não-linear apresenta, em geral, um maior amortecimento, de modo que se verifica estabilidade no sistema não-linear, algo já esperado. Nota-se ainda que, embora no decorrer da simulação as repostas dos modelos tenham divergido significativamente, nos instantes iniciais, onde as perturbações ainda eram pequenas, ambas as abordagens acusavam valores muito próximos.

7.5.2 Perturbação do tipo rampa

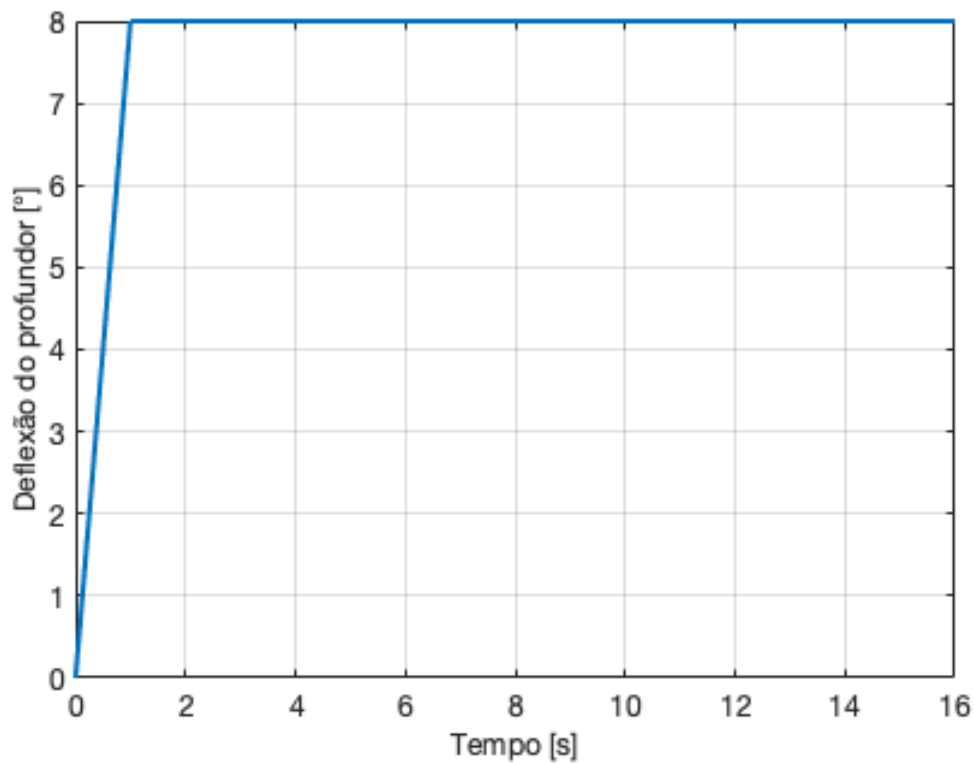


Figura 7.6: Rampa utilizada na simulação

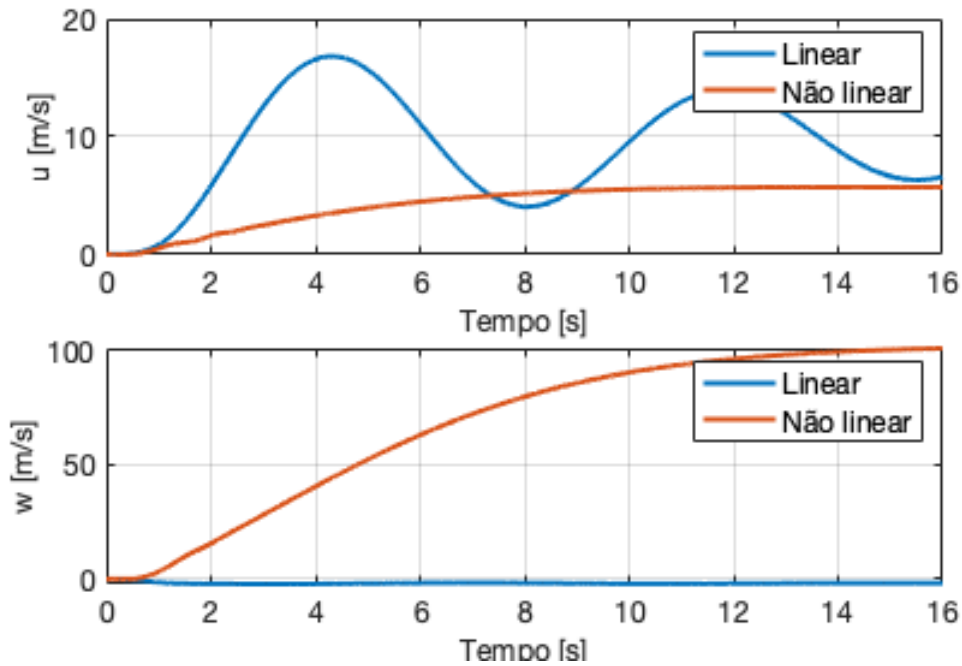


Figura 7.7: Comparação entre o modelo linear e não linear para perturbação rampa

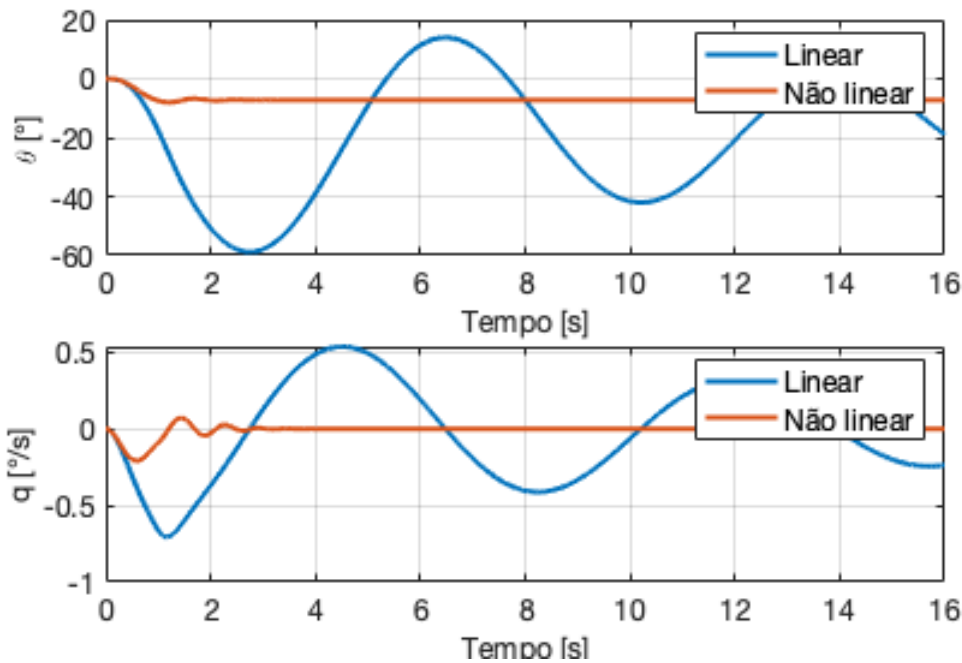


Figura 7.8: Comparação entre o modelo linear e não linear para uma perturbação rampa

Novamente, constata-se que a abordagem não-linear apresenta, em geral, um maior amortecimento, verificando as afirmações feitas anteriormente para o caso de excitação degrau. No entanto, nota-se que a velocidade vertical da aeronave w apresenta bastante discrepância entre as abordagens devido ao fato da excitação rampa consistir em uma atuação abrupta

e contínua do profundor com uma deflexão significativa (8°), promovendo um momento de arfagem ininterrupto na aeronave a partir do instante inicial da simulação.

7.5.3 Perturbação do tipo impulso

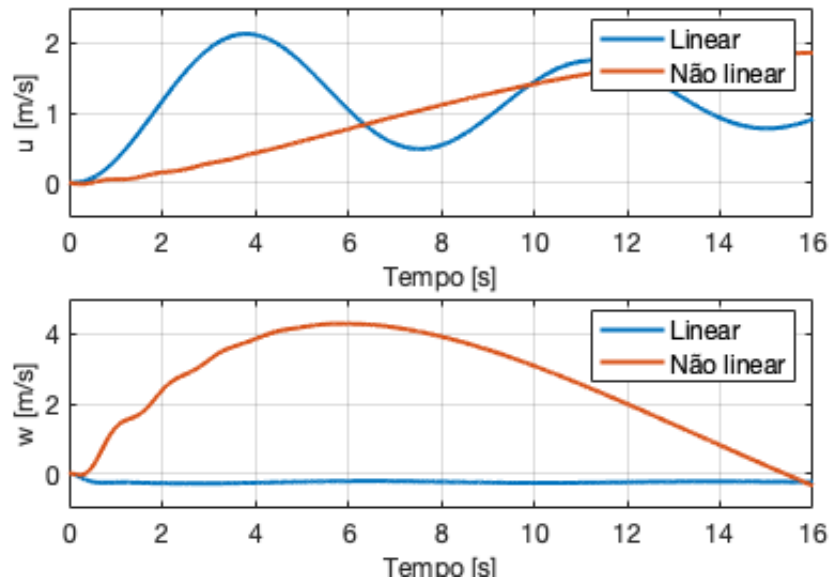


Figura 7.9: Comparação entre o modelo linear e não linear para uma perturbação impulso

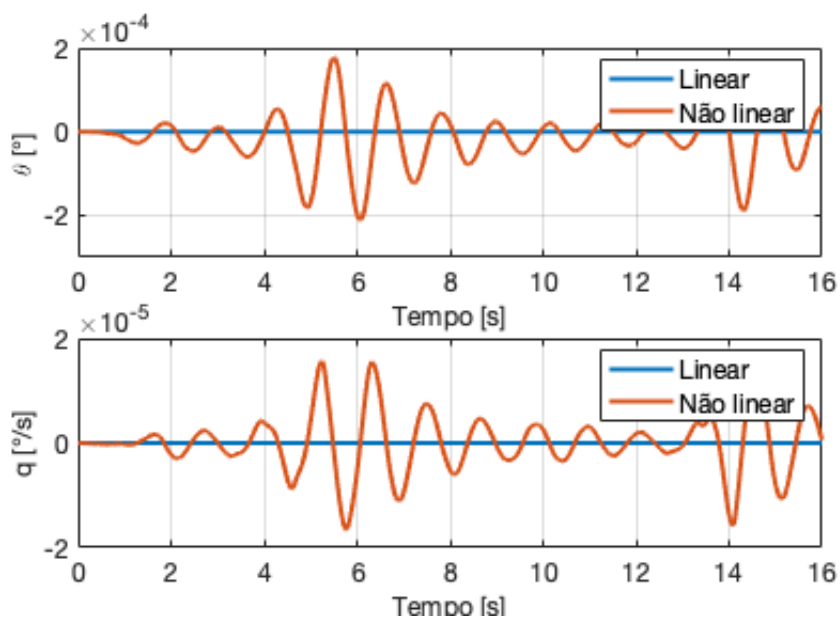


Figura 7.10: Comparação entre o modelo linear e não linear para uma perturbação impulso

Por fim, na excitação por impulso, nota-se que a solução não linear apresenta um caráter oscilatório periódico no domínio do tempo para as variáveis q e θ , mas com uma amplitude muito pequena, assim a aproximação linear foi capaz de representar a não linear. A velocidade vertical w da aeronave possui uma discrepância inicial crescente entre as duas abordagens; no entanto, retornam a convergir nos instantes finais da simulação, uma vez que no caso da entrada por impulso a excitação é significativa porém de curta duração, sendo interrompida ainda nos primeiros instantes de simulação.

8 Considerações Finais

Ao final do projeto foi possível determinar através de técnicas de linearização, análise de estabilidade e análise de frequências, o comportamento dinâmico longitudinal de uma aeronave radiocontrolada em voo de cruzeiro. Além disso, pode-se observar uma boa adequação geral entre a abordagem linearizada descrita na bibliografia de referência e a não-linear para os instantes iniciais das simulações numéricas.

9 Apêndice: Códigos utilizados na simulação

9.1 Simulação linear

```
1 function Main_modelagem
2 % Versao: Matlab 2020a
3 % Disciplina: PME3380 – Modelagem de Sistemas Dinamicos
4 % Autores:
5 % Ives C. Vieira – 10355551
6 % Mauricio C. Leiman – 10772571
7 % Vitor Facchini – 10772605
8 % Yago N. Yang – 10772626
9
10 % Essa rotina realizara a simulacao linear da aeronave, alem disso
11 % plotara
12 % os diagramas de Bode, polos e zeros e obtera a funcao de
13 % transferencia.
14 % Ela tambem calcula uma solucao linear, entretanto os diferentes
15 % casos
16 % foram simulados na rotina "compara.m"
17 % O equacionamento esta descritos no relatorio entregue.
18 close all
19
20 %% Valores
21 % Constantes
22 rho = 1.1062;
23 g = 9.81;
24 % Parametros Geometricos
25 m = 20;
26 W = m*g;
27 Iyy = 1.36;
28 z_motor = 0.4438;
29 z_cg = 0.4384;
30 S = 3.2;
31 Sh = 0.3387;
32 mac = 0.234;
33 x1 = -0.0059;
34 x2 = -0.1242;
35 xh = -0.2561;
36 xCG = 0.1509;
37
38 % Coeficientes Aerodinamicos
39 dT = -1.7464;
40 eta = 1;
```

```

38 CL0 = 0.49;
39 CD0 = 0.06;
40 CM0 = 0.06;
41 CL_alpha = 3.94;
42 CD_alpha = 0.2180;
43 CM_alpha = -0.3846;
44 CL_def = -0.3538;
45 CD_def = -0.008;
46 CM_def = -0.3470;
47 CL_alpha_1 = 1.9108;
48 CL_alpha_2 = 1.7226;
49 CL_alpha_h = 0.3110;
50
51 %% Condição de trimagem
52 % Velocidade Inicial
53 V = 15.75;
54
55 % Chute Inicial
56 x0 = [0;0;60];
57 rvs = 0.5*rho*V^2*S;
58
59 % Equações do Movimento
60 fun = @(x) [ (CL0+CL_alpha*x(1)+CL_def*x(2)) + x(3)*sin(x(1))/rvs -
              W/rvs;
61             x(3)*cos(x(1)) - (CD0+CD_alpha*x(1)+CD_def*x(2));
62             (CM0+CM_alpha*x(1)+CM_def*x(2)) - (z_motor-z_cg)*x(3)/(rvs*mac)
              ];
63
64 % Variáveis Trimadas
65 options = optimoptions('fsolve','Display','off');
66 y = fsolve(fun,x0,options);
67 alpha_trim = y(1); def_trim = y(2) ; T_trim = y(3);
68
69 % Estados no sistema de eixos fixo no avião %
70 Vu = V*cos(alpha_trim);
71 Vv = 0;
72 Vw = V*sin(alpha_trim);
73 % vet_estados =
74 %           Vu Vw q xf zf theta
75 y_trim = [Vu Vw 0 0 0 alpha_trim]';
76
77 %% Derivadas de estabilidade
78 % Coeficientes aerodinâmicos
79 CL = CL0 + CL_alpha*alpha_trim + CL_def*def_trim;
80 CD = CD0 + CD_alpha*alpha_trim + CD_def*def_trim;

```

```

81 CM = CM0 + CM_alpha*alpha_trim + CM_def*def_trim;
82
83 % Forca peso
84 Wf = [0 0 W];
85 Wb = body(y_trim, Wf);
86 Xg = Wb(1);
87 Zg = Wb(3);
88
89 % Derivadas
90 Fxu = -rho*S*V*CD + dT;
91 Fzu = -rho*S*V*CL;
92 Myu = rho*S*mac*V*CM + dT*(-z_motor+z_cg);
93 Fxw = 0.5*rho*S*V*(CL - CD_alpha);
94 Fzw = 0.5*rho*S*V*(-CD - CL_alpha);
95 Myw = 0.5*rho*S*V*mac*CM_alpha;
96 Fxq = 0;
97 Fzq = 0.5*rho*V*(S*x1*CL_alpha_1 + S*x2*CL_alpha_2 + eta*Sh*xh*
    CL_alpha_h);
98 Myq = -0.5*rho*V*(S*x1^2*CL_alpha_1 + S*x2^2*CL_alpha_2 + eta*Sh*xh
    ^2*CL_alpha_h);;
99 Fxd = -0.5*rho*S*V^2*CD_def;
100 Fzd = -0.5*rho*S*V^2*CL_def;
101 Myd = 0.5*rho*S*V^2*mac*CM_def;
102
103
104 %% Parametros
105 % Matrizes do Sistema
106 Inv = inv([W/g 0 0 0 0 0
107           0 W/g 0 0 0 0
108           0 0 Iyy 0 0 0
109           0 0 0 1 0 0
110           0 0 0 0 1 0
111           0 0 0 0 0 1]);
112
113 A = [Fxu Fxw Fzq 0 0 -W*cos(alpha_trim)
114      Fzu Fzw Fzq+W*V/g 0 0 -W*sin(alpha_trim)
115      Myu Myw Myq 0 0 0
116      cos(alpha_trim) sin(alpha_trim) 0 0 0 -V*sin(alpha_trim)
117      -sin(alpha_trim) cos(alpha_trim) 0 0 0 -V*cos(alpha_trim)
118      0 0 1 0 0 0 ];
119
120 B = [Fxd
121      Fzd
122      Myd
123      0

```

```

124     0
125     0];
126
127 A = Inv*A;
128 B = Inv*B;
129
130 % C = zeros(2,4);
131 % C(1,:) = rad2deg([0 1/V0 0 0]); C(2,:) = A(2,:)/g;
132 C = eye(6);
133 D = zeros(6,1);
134
135 % Obtencao da Funcao de transferencia e diagrama de Polos e zeros
136 [autoval , autovet]=eig(A);
137 [numerador , denominador]=ss2tf(A,B,C,D,1);
138 [zer , pol , ~]=ss2zp(A,B,C,D,1);
139
140 figure
141 plot(real(pol) , imag(pol) , 'kx' , 'MarkerSize' ,20 , 'LineWidth' ,1.5)
142 hold on
143 plot(real(zer) , imag(zer) , 'ro' , 'MarkerSize' ,10 , 'LineWidth' ,1.5)
144 xlabel('Eixo real');
145 ylabel('Eixo imaginario')
146 legend('Polos' , 'Zeros')
147 grid on;
148
149 % Espaco de Estados
150 sys = ss(A,B,C,D);
151
152 % Diagrama de Bode
153 H1=tf(numerador(1,:) , denominador);
154 H2=tf(numerador(2,:) , denominador);
155 H3=tf(numerador(3,:) , denominador);
156 H4=tf(numerador(4,:) , denominador);
157 H5=tf(numerador(5,:) , denominador);
158 H6=tf(numerador(6,:) , denominador);
159
160 figure
161 bode(H1)
162 grid on
163 title('Diagrama de Bode para a variavel u')
164
165 figure
166 bode(H2)
167 grid on
168 title('Diagrama de Bode para a variavel w')

```

```
169
170 figure
171 bode(H3)
172 grid on
173 title('Diagrama de Bode para a variavel q')
174
175 figure
176 bode(H6)
177 grid on
178 title('Diagrama de Bode para a variavel \theta')
179
180 % Parametros da Simulacao
181 step = 0.005;
182 tempo_final = 10;
183 t = 0:step:tempo_final;
184 vet_temp = t;
185 n = length(t);
186 u = zeros(1,n);
187 u(1,:) = deg2rad(0);
188
189 y_0 = zeros(6,1);
190 def = rad2deg(u);
191
192 %% Solucao do sistema
193 % Solucao do Sistema por ODE
194 fun = @(t,x) odefun_linear(t,x,A,B,u,vet_temp);
195
196 [t_tot,y_tot] = ode45(fun,t,y_0);
197
198 % Plots
199 u=y_tot(:,1);
200 w=y_tot(:,2);
201 q=y_tot(:,3);
202 x=y_tot(:,4);
203 z=y_tot(:,5);
204 alfa=rad2deg(y_tot(:,6));
205 t=t_tot;
206
207 figure
208 subplot(2,1,1)
209 plot(t,u,'LineWidth',2)
210 xlabel('Tempo [s]')
211 ylabel('u [m/s]')
212 grid on
213 subplot(2,1,2)
```

```

214 plot(t,w,'LineWidth',2)
215 xlabel('Tempo [s]')
216 ylabel('w [m/s]')
217 grid on
218
219 figure
220 subplot(2,1,1)
221 plot(t,x,'LineWidth',2)
222 xlabel('Tempo [s]')
223 ylabel('x [m]')
224 grid on
225 subplot(2,1,2)
226 plot(t,z,'LineWidth',2)
227 xlabel('Tempo [s]')
228 ylabel('z [s]')
229 grid on
230
231 figure
232 subplot(2,1,1)
233 plot(t,alfa,'LineWidth',2)
234 xlabel('Tempo [s]')
235 ylabel('\alpha [graus]')
236 grid on
237 subplot(2,1,2)
238 plot(t,q,'LineWidth',2)
239 xlabel('Tempo [s]')
240 ylabel('q [graus/s]')
241 grid on
242
243 figure
244 plot(t,def,'LineWidth',2)
245 xlabel('Tempo [s]')
246 ylabel('\delta_{prof} [graus]')
247 grid on
248 end
249
250 function x_ponto = odefun_linear(t,x,A,B,u,vet_temp)
251 [~,instante] = min(abs(vet_temp-t));
252 u_t = u(:,instante);
253 x_ponto = A*x + B*u_t;
254 end
255
256 function Vb = body(y, V)
257 % Essa funcao transforma um vetor da base fixa no solo em uma na
     base fixa

```

```

258 % no aviao (body), pode ser linha ou coluna.
259 % y eh o vetor de estados no instante, pode ser linha ou coluna,
      apenas
260 % importam os angulos de Euler
261 % V eh o vetor a ser transformado
262
263 [l,~] = size(V);
264 vet_col=false;
265 if l==3
266     vet_col = true;
267     V = V';
268 end
269 M = [cos(y(6)) *cos(0), cos(y(6)) * sin(0), -sin(y(6));
270      sin(0) *sin(y(6)) *cos(0) - cos(0) *sin(0), sin(0) *sin(y(6)) *
      sin(0) + cos(0) *cos(0), sin(0) *cos(y(6));
271      cos(0) *sin(y(6)) *cos(0) + sin(0) *sin(0), cos(0) *sin(y(6)) *
      sin(0) - sin(0) *cos(0), cos(0) *cos(y(6))];
272 Vb = (M*V')';
273 if vet_col
274     Vb = Vb';
275 end
276 end

```

9.2 Simulação não linear

```

1 function Main_modelagem_nl
2 % Versao: Matlab 2020a
3 % Disciplina: PME3380 – Modelagem de Sistemas Dinamicos
4 % Autores:
5 % Ives C. Vieira – 10355551
6 % Mauricio C. Leiman – 10772571
7 % Vitor Facchini – 10772605
8 % Yago N. Yang – 10772626
9
10 % Essa rotina realizara a simulacao nao linear da aeronave e
      calculara
11 % uma solucao linear, entretanto os diferentes casos foram simulados
      na rotina "compara.m"
12 % O equacionamento esta descritos no relatorio entregue.
13 close all
14
15 %% Valores
16 % Constantes
17 rho = 1.1062;

```

```

18 g = 9.81;
19
20 % Geometricos
21 m = 20;
22 W = m*g;
23 Iyy = 1.36;
24 z_motor = 0.4438;
25 z_cg = 0.4384;
26 S = 3.2;
27 Sh = 0.3387;
28 mac = 0.234;
29 x1 = -0.0059;
30 x2 = -0.1242;
31 xh = -0.2561;
32 xCG = 0.1509;
33
34 % Aerodinamicos
35 dT = -1.7464;
36 eta = 1;
37 CL0 = 0.49;
38 CD0 = 0.06;
39 CM0 = 0.06;
40 CL_alpha = 3.94;
41 CD_alpha = 0.2180;
42 CM_alpha = -0.3846;
43 CL_def = -0.3538;
44 CD_def = -0.008;
45 CM_def = -0.3470;
46 CL_alpha_1 = 1.9108;
47 CL_alpha_2 = 1.7226;
48 CL_alpha_h = 0.3110;
49
50 %% Condição de trimagem
51 % Velocidade Inicial
52 V = 15.75;
53
54 % Chute Inicial
55 % alfa def T
56 x0 = [0;0;60];
57 rvs = 0.5*rho*V^2*S;
58
59 % Equações do Movimento
60 fun2 = @(x) [ (CL0+CL_alpha*x(1)+CL_def*x(2)) + x(3)*sin(x(1))/rvs
    - W/rvs;
61     x(3)*cos(x(1)) - (CD0+CD_alpha*x(1)+CD_def*x(2))];

```

```

62     (CM0+CM_alpha*x(1)+CM_def*x(2)) - (z_motor-z_cg)*x(3)/(rvs*mac)
        |];
63
64 % Variaveis Trimadas
65 options = optimoptions('fsolve','Display','off');
66 y = fsolve(fun2,x0,options);
67 alpha_trim = y(1);
68 def_trim = y(2);
69 T_trim = y(3);
70
71 % Estados no sistema de eixos fixo no aviao
72 Vu = V*cos(alpha_trim);
73 Vv = 0;
74 Vw = V*sin(alpha_trim);
75 % vet_estados =
76 %     Vu Vw q xf zf theta
77 y_trim = [Vu Vw 0 0 0 alpha_trim]';
78
79 % Parametros da Simulacao
80 step = 0.001;
81 tempo_final = 10;
82 t = 0:step:tempo_final;
83 vet_temp = t;
84 n = length(t);
85 u = zeros(1,n);
86 u(1,:) = def_trim + deg2rad(0); % = def do prof durante a simulacao
      , mudar!
87
88 y_0 = y_trim;
89 def = rad2deg(u);
90
91 %% Solucao do sistema
92 % Solucao do Sistema por ODE
93 fun2 = @(t,y) odefun_nlinear(t, y, u, vet_temp, T_trim);
94
95 [t_tot,y_tot] = ode45(fun2, t, y_0);
96
97 % Plots
98 u=y_tot(:,1);
99 w=y_tot(:,2);
100 q=y_tot(:,3);
101 x=y_tot(:,4);
102 z=y_tot(:,5);
103 alfa=rad2deg(y_tot(:,6));
104 t=t_tot;

```

```

105
106 figure
107 subplot(2,1,1)
108 plot(t,u-y_0(1),'LineWidth',2)
109 xlabel('Tempo [s]')
110 ylabel('u [m/s]')
111 grid on
112 subplot(2,1,2)
113 plot(t,w-y_0(2),'LineWidth',2)
114 xlabel('Tempo [s]')
115 ylabel('w [m/s]')
116 grid on
117
118 figure
119 subplot(2,1,1)
120 plot(t,x-y_0(4),'LineWidth',2)
121 xlabel('Tempo [s]')
122 ylabel('x [m]')
123 grid on
124 subplot(2,1,2)
125 plot(t,z-y_0(5),'LineWidth',2)
126 xlabel('Tempo [s]')
127 ylabel('z [s]')
128 grid on
129
130 figure
131 subplot(2,1,1)
132 plot(t,alfa-alpha_trim,'LineWidth',2)
133 xlabel('Tempo [s]')
134 ylabel('\alpha [graus]')
135 grid on
136 subplot(2,1,2)
137 plot(t,q-y_0(3),'LineWidth',2)
138 xlabel('Tempo [s]')
139 ylabel('q [graus/s]')
140 grid on
141
142 figure
143 plot(t,def,'LineWidth',2)
144 xlabel('Tempo [s]')
145 ylabel('\delta_{prof} [graus]')
146 grid on
147 end
148
149 function yp = odefun_nlinear(t,y,u,vet_temp,T_trim)

```

```
150 %% Valores
151 % Constantes
152 rho = 1.1062;
153 g = 9.81;
154
155 % Geometricos
156 m = 20;
157 W = m*g;
158 z_motor = 0.4438;
159 z_cg = 0.4384;
160 S = 3.2;
161 Sh = 0.3387;
162 mac = 0.234;
163 x1 = -0.0059;
164 x2 = -0.1242;
165 xh = -0.2561;
166 xCG = 0.1509;
167 Iner = [0.36 0 0.0071
168         0 1.36 0
169         0.0071 0 0.46];
170 Ixxb = Iner(1,1);
171 Iyyb = Iner(2,2);
172 Izzb = Iner(3,3);
173 Ixzb = Iner(1,3);
174
175 % Aerodinamicos
176 dT = -1.7464;
177 eta = 1;
178 CL0 = 0.49;
179 CD0 = 0.06;
180 CM0 = 0.06;
181 CL_alpha = 3.94;
182 CD_alpha = 0.2180;
183 CM_alpha = -0.3846;
184 CL_def = -0.3538;
185 CD_def = -0.008;
186 CM_def = -0.3470;
187 CL_alpha_1 = 1.9108;
188 CL_alpha_2 = 1.7226;
189 CL_alpha_h = 0.3110;
190 % CD_q = -0.967254726639372;
191 % CL_q = 6.92457150620892;
192 % CM_q = -1.38513754053762;
193 CD_q = 0.0049;
194 CL_q = .0380;
```

```

195 CM_q = -0.0187;
196
197 % Acha def no instante
198 [~, instante] = min(abs(vet_temp-t));
199 def = u(:, instante);
200
201 %% Estados
202 % vet_estados =
203 % Vu Vw q xf zf theta
204 u = y(1);
205 v = 0;
206 w = y(2);
207 p = 0;
208 q = y(3);
209 r = 0;
210 phi = 0;
211 the = y(6);
212 psi = 0;
213
214 V = [u;v;w];
215 if u == 0
216     alpha = 0;
217 else
218     alpha = atan(w/u);
219 end
220 T = T_trim;
221
222 %% Forcas e momentos
223 V0=(u*u + v*v + w*w) ^ 0.5;
224
225 CL = CL0 + CL_alpha*the + CL_def*def + CL_q*q;
226 CD = CD0 + CD_alpha*the + CD_def*def + CD_q*q;
227 CM = CM0 + CM_alpha*the + CM_def*def + CM_q*q;
228 rsv = 0.5*rho*S*V0^2;
229
230 F = [rsv*(CL*sin(alpha) - CD*cos(alpha)) * T*cos(alpha) - W*sin(the)
      0 ,...
      rsv*(-CL*cos(alpha) - CD*sin(alpha)) + W*cos(phi)*cos(the)];
231 M = [0 rsv*mac*CM + T*(z_cg-z_motor) 0];
232
233 %% Derivadas do vetor de estados
234 % Aceleracoes lineares
235 up = F(1)/m + r*v - q*w;
236 vp = 0;
237 wp = F(3)/m + q*u - p*v;

```

```

239
240 % Aceleracoes angulares
241 aang = (Iner^-1)*[
242     M(1) + (Iyyb -Izzb)*q*r + Ixzb*p*q;
243     M(2) + (Izzb -Ixxb)*p*r + Ixzb*(r^2-p^2);
244     M(3) + (Ixxb -Iyyb)*p*q - Ixzb*q*r];
245 pp = 0;
246 qp = aang(2);
247 rp = 0;
248
249 % Velocidades em relacao ao solo
250 vf = [
251     cos(the)*cos(psi), sin(phi)*sin(the)*cos(psi) - cos(phi)*sin(psi
252     ), cos(phi)*sin(the)*cos(psi) + sin(phi)*sin(psi);
253     cos(the)*sin(psi), sin(phi)*sin(the)*sin(psi) + cos(phi)*cos(psi
254     ), cos(phi)*sin(the)*sin(psi) - sin(phi)*cos(psi);
255     -sin(the), sin(phi)*cos(the), cos(phi)*cos(the)] * V;
256 xp = vf(1);
257 yp = 0;
258 zp = vf(3);
259
260 % Variacao dos angulos de Euler
261 dang = [1, sin(phi)*sin(the)/cos(the), cos(phi)*sin(the)/cos(the);
262     0, cos(phi), -sin(phi);
263     0, sin(phi)/cos(the), cos(phi)/cos(the)]*[p;q;r];
264 phip = 0;
265 thep = dang(2);
266 psip = 0;
267
268 % Resultado
269 yp = [up;wp;qp;xp;zp;thep];
270
271 end
272
273 function Vb = body(y, V)
274 % Essa funcao transforma um vetor da base fixa no solo em uma na
275     base fixa
276 % no aviao (body), pode ser linha ou coluna.
277 % y eh o vetor de estados no instante, pode ser linha ou coluna,
278     apenas
279 % importam os angulos de Euler
280 % V eh o vetor a ser transformado
281
282 [1,~] = size(V);
283 vet_col=false;

```

```

280 if l==3
281     vet_col = true;
282     V = V';
283 end
284 M = [cos(y(6)) * cos(0), cos(y(6)) * sin(0), -sin(y(6));
285       sin(0) * sin(y(6)) * cos(0) - cos(0) * sin(0), sin(0) * sin(y(6)) *
286       sin(0) + cos(0) * cos(0), sin(0) * cos(y(6));
287       cos(0) * sin(y(6)) * cos(0) + sin(0) * sin(0), cos(0) * sin(y(6)) *
288       sin(0) - sin(0) * cos(0), cos(0) * cos(y(6))];
289 Vb = (M*V')';
290 if vet_col
291     Vb = Vb';
292 end
293 end
294 end

```

9.3 Comparação entre simulações não lineares e lineares

```

1 function compara
2 % Versao: Matlab 2020a
3 % Disciplina: PME3380 – Modelagem de Sistemas Dinamicos
4 % Autores:
5 % Ives C. Vieira – 10355551
6 % Mauricio C. Leiman – 10772571
7 % Vitor Facchini – 10772605
8 % Yago N. Yang – 10772626
9
10 % Essa rotina permite simular a modelagem linear e a nao linear ,
11 % comentando
12 % e descomentando as primeiras linhas , fazendo assim , a 'habilitacao
13 % ' e
14 % 'desativacao' de cada uma das condicoes: degrau , rampa e impulso.
15
16 % A modelagem esta descrita no relatorio entregue e esta rotina usa
17 % exatamente o mesmo equacionamento das duas anteriores , ela apenas
18 % nao
19 % plota graficos intermediarios.
20 close all
21
22 %% Valores
23
24 tempo_final = 16;
25 step = 0.005;
26 t = 0:step:tempo_final;
27 vet_temp = t;

```

```
25 n = length(t);
26 u = zeros(1,n);
27 % Degrau
28 % funcao_deflexao = 8;
29
30 % Rampa
31 % funcao_deflexao = zeros(1,n);
32 % trampa=2;
33 % funcao_deflexao = min(ones(1,n)*8,8*t);
34
35 % Impulso
36 funcao_deflexao = ones(1,n);
37 funcao_deflexao(1,100) = -8;
38
39 u(1,:) = deg2rad(funcao_deflexao); % = deflexao do prof durante a
    simulacao , mudar!
40
41 % Constantes
42 rho = 1.1062;
43 g = 9.81;
44 % Geometricos
45 m = 20;
46 W = m*g;
47 Iyy = 1.36;
48 z_motor = 0.4438;
49 z_cg = 0.4384;
50 S = 3.2;
51 Sh = 0.3387;
52 mac = 0.234;
53 x1 = -0.0059;
54 x2 = -0.1242;
55 xh = -0.2561;
56 xCG = 0.1509;
57
58 % Aerodinamicos
59 dT = -1.7464;
60 eta = 1;
61 CL0 = 0.49;
62 CD0 = 0.06;
63 CM0 = 0.06;
64 CL_alpha = 3.94;
65 CD_alpha = 0.2180;
66 CM_alpha = -0.3846;
67 CL_def = -0.3538;
68 CD_def = -0.008;
```

```

69 CM_def = -0.3470;
70 CL_alpha_1 = 1.9108;
71 CL_alpha_2 = 1.7226;
72 CL_alpha_h = 0.3110;
73
74 %% Condição de trimagem
75 % Velocidade Inicial
76 V = 15.75;
77
78 % Chute Inicial
79 % alfa def T
80 x0 = [0;0;60];
81 rvs = 0.5*rho*V^2*S;
82
83 % Equações do Movimento
84 fun = @(x) [ (CL0+CL_alpha*x(1)+CL_def*x(2)) + x(3)*sin(x(1))/rvs -
              W/rvs;
85             x(3)*cos(x(1)) - (CD0+CD_alpha*x(1)+CD_def*x(2));
86             (CM0+CM_alpha*x(1)+CM_def*x(2)) - (z_motor-z_cg)*x(3)/(rvs*mac)
              ];
87
88 % Variáveis Trimadas
89 options = optimoptions('fsolve','Display','off');
90 y = fsolve(fun,x0,options);
91 alpha_trim = y(1); def_trim = y(2) ; T_trim = y(3);
92
93 % Estados no sistema de eixos fixo no avião
94 Vu = V*cos(alpha_trim);
95 Vv = 0;
96 Vw = V*sin(alpha_trim);
97 % vet_estados =
98 %           Vu Vw q xf zf theta
99 y_trim = [Vu Vw 0 0 0 alpha_trim]';
100
101 %% Derivadas de estabilidade
102 % Coeficientes aerodinamicos
103 CL = CL0 + CL_alpha*alpha_trim + CL_def*def_trim;
104 CD = CD0 + CD_alpha*alpha_trim + CD_def*def_trim;
105 CM = CM0 + CM_alpha*alpha_trim + CM_def*def_trim;
106
107 % Força peso
108 Wf = [0 0 W];
109 Wb = body(y_trim,Wf);
110 Xg = Wb(1);
111 Zg = Wb(3);

```

```

112
113 % Derivadas
114 Fxu = -rho*S*V*CD + dT;
115 Fzu = -rho*S*V*CL;
116 Myu = rho*S*mac*V*CM + dT*(-z_motor+z_cg);
117 Fxw = 0.5*rho*S*V*(CL - CD_alpha);
118 Fzw = 0.5*rho*S*V*(-CD - CL_alpha);
119 Myw = 0.5*rho*S*V*mac*CM_alpha;
120 Fxq = 0;
121 Fzq = 0.5*rho*V*(S*x1*CL_alpha_1 + S*x2*CL_alpha_2 + eta*Sh*xh*
    CL_alpha_h);
122 Myq = -0.5*rho*V*(S*x1^2*CL_alpha_1 + S*x2^2*CL_alpha_2 + eta*Sh*xh
    ^2*CL_alpha_h);;
123 Fxd = -0.5*rho*S*V^2*CD_def;
124 Fzd = -0.5*rho*S*V^2*CL_def;
125 Myd = 0.5*rho*S*V^2*mac*CM_def;
126
127
128 %% Parametros
129 % Matrizes do Sistema
130 Inv = inv([W/g 0 0 0 0 0
131           0 W/g 0 0 0 0
132           0 0 Iyy 0 0 0
133           0 0 0 1 0 0
134           0 0 0 0 1 0
135           0 0 0 0 0 1]);
136
137 A = [Fxu Fxw Fzq 0 0 -W*cos(alpha_trim)
138     Fzu Fzw Fzq-W*V/g 0 0 -W*sin(alpha_trim)
139     Myu Myw Myq 0 0 0
140     cos(alpha_trim) sin(alpha_trim) 0 0 0 -V*sin(alpha_trim)
141     -sin(alpha_trim) cos(alpha_trim) 0 0 0 -V*cos(alpha_trim)
142     0 0 1 0 0 0 ];
143
144 B = [Fxd
145     Fzd
146     Myd
147     0
148     0
149     0];
150
151 A = Inv*A;
152 B = Inv*B;
153
154 % C = zeros(2,4);

```

```

155 % C(1,:) = rad2deg([0 1/V0 0 0]); C(2,:) = A(2,:)/g;
156 C = eye(6);
157 D = zeros(6,1);
158
159 % Parametros da Simulacao
160 y_0 = zeros(6,1);
161 def = rad2deg(u);
162
163 %% Solucao do sistema
164 % Solucao do Sistema por ODE
165 fun = @(t,x) odefun_linear(t,x,A,B,u,vet_temp);
166
167 [t_tot,y_tot] = ode45(fun,t,y_0);
168
169 % Plots
170 ulin=y_tot(:,1);
171 wlin=y_tot(:,2);
172 qlin=y_tot(:,3);
173 xlin=y_tot(:,4);
174 zlin=y_tot(:,5);
175 thelin=rad2deg(y_tot(:,6));
176 tlin=t_tot;
177
178
179 %% Solucao nao linear
180 %
181 %
182 %
183 %
184
185 %% Valores
186 % Constantes
187 rho = 1.1062;
188 g = 9.81;
189
190 % Geometricos

```

```

191 m = 20;
192 W = m*g;
193 Iyy = 1.36;
194 z_motor = 0.4438;
195 z_cg = 0.4384;
196 S = 3.2;
197 Sh = 0.3387;
198 mac = 0.234;
199 x1 = -0.0059;
200 x2 = -0.1242;
201 xh = -0.2561;
202 xCG = 0.1509;
203
204 % Aerodinamicos
205 dT = -1.7464;
206 eta = 1;
207 CL0 = 0.49;
208 CD0 = 0.06;
209 CM0 = 0.06;
210 CL_alpha = 3.94;
211 CD_alpha = 0.2180;
212 CM_alpha = -0.3846;
213 CL_def = -0.3538;
214 CD_def = -0.008;
215 CM_def = -0.3470;
216 CL_alpha_1 = 1.9108;
217 CL_alpha_2 = 1.7226;
218 CL_alpha_h = 0.3110;
219
220 %% Condição de trimagem
221 % Velocidade Inicial
222 V = 15.75;
223
224 % Chute Inicial
225 % alfa def T
226 x0 = [0;0;60];
227 rvs = 0.5*rho*V^2*S;
228
229 % Equações do Movimento
230 fun2 = @(x) [ (CL0+CL_alpha*x(1)+CL_def*x(2)) + x(3)*sin(x(1))/rvs
    - W/rvs;
231   x(3)*cos(x(1)) - (CD0+CD_alpha*x(1)+CD_def*x(2));
232   (CM0+CM_alpha*x(1)+CM_def*x(2)) - (z_motor-z_cg)*x(3)/(rvs*mac)
    ];
233

```

```

234 % Variaveis Trimadas
235 options = optimoptions('fsolve','Display','off');
236 y = fsolve(fun2,x0,options);
237 alpha_trim = y(1);
238 def_trim = y(2) ;
239 T_trim = y(3);
240
241 % Estados no sistema de eixos fixo no aviao
242 Vu = V*cos(alpha_trim);
243 Vv = 0;
244 Vw = V*sin(alpha_trim);
245 % vet_estados =
246 %      Vu Vw q xf zf theta
247 y_trim = [Vu Vw 0 0 0 alpha_trim]';
248
249 % Parametros da Simulacao
250 u(1,:) = def_trim + deg2rad(funcao_deflexao); % = def do prof
      durante a simulacao, mudar!
251
252 y_0 = y_trim;
253 def = rad2deg(u);
254
255 %% Solucao do sistema
256 % Solucao do Sistema por ODE
257 fun2 = @(t,y) odefun_nlinear(t, y, u, vet_temp, T_trim);
258
259 [t_tot,y_tot] = ode45(fun2, t, y_0);
260
261 % Plots
262 unl=y_tot(:,1);
263 wnl=y_tot(:,2);
264 qnl=y_tot(:,3);
265 xnl=y_tot(:,4);
266 znl=y_tot(:,5);
267 thenl=rad2deg(y_tot(:,6));
268 tnl=t_tot;
269
270 figure
271 subplot(2,1,1)
272 plot(tlin,ulin,tnl,unl-y_0(1),'LineWidth',2)
273 xlabel('Tempo [s]')
274 ylabel('u [m/s]')
275 legend('Linear','Nao linear')
276 grid on
277 subplot(2,1,2)

```

```

278 plot(tlin,wlin,tnl,wnl-y_0(2),'LineWidth',2)
279 xlabel('Tempo [s]')
280 ylabel('w [m/s]')
281 grid on
282 legend('Linear','Nao linear')
283
284
285 figure
286 subplot(2,1,1)
287 plot(tlin,thelin,tnl,thenl-thenl(1),'LineWidth',2)
288 xlabel('Tempo [s]')
289 ylabel('\theta [graus]')
290 legend('Linear','Nao linear')
291 grid on
292 subplot(2,1,2)
293 plot(tlin,qlin,tnl,qnl-y_0(3),'LineWidth',2)
294 xlabel('Tempo [s]')
295 ylabel('q [graus/s]')
296 legend('Linear','Nao linear')
297 grid on
298
299 end
300
301 function yp = odefun_nlinear(t,y,u,vet_temp,T_trim)
302 %% Valores
303 % Constantes
304 rho = 1.1062;
305 g = 9.81;
306
307 % Geometricos
308 m = 20;
309 W = m*g;
310 z_motor = 0.4438;
311 z_cg = 0.4384;
312 S = 3.2;
313 Sh = 0.3387;
314 mac = 0.234;
315 x1 = -0.0059;
316 x2 = -0.1242;
317 xh = -0.2561;
318 xCG = 0.1509;
319 Iner = [0.36 0 0.0071
320         0 1.36 0
321         0.0071 0 0.46];
322 Ixxb = Iner(1,1);

```

```

323 Iyyb = Iner(2,2);
324 Izzb = Iner(3,3);
325 Ixzb = Iner(1,3);
326
327 % Aerodinamicos
328 dT = -1.7464;
329 eta = 1;
330 CL0 = 0.49;
331 CD0 = 0.06;
332 CM0 = 0.06;
333 CL_alpha = 3.94;
334 CD_alpha = 0.2180;
335 CM_alpha = -0.3846;
336 CL_def = -0.3538;
337 CD_def = -0.008;
338 CM_def = -0.3470;
339 CL_alpha_1 = 1.9108;
340 CL_alpha_2 = 1.7226;
341 CL_alpha_h = 0.3110;
342 CD_q = 0.0049;
343 CL_q = .0380;
344 CM_q = -0.0187;
345
346 % Acha def no instante
347 [~, instante] = min(abs(vet_temp-t));
348 def = u(:, instante);
349
350 %% Estados
351 % vet_estados =
352 % Vu Vw q xf zf theta
353 u = y(1);
354 v = 0;
355 w = y(2);
356 p = 0;
357 q = y(3);
358 r = 0;
359 phi = 0;
360 the = y(6);
361 psi = 0;
362
363 V = [u;v;w];
364 if u == 0
365     alpha = 0;
366 else
367     alpha = atan(w/u);

```

```

368 end
369 T = T_trim;
370
371 %% Forças e momentos
372 V0=(u*u + v*v + w*w)^0.5;
373
374 CL = CL0 + CL_alpha*the + CL_def*def + CL_q*q;
375 CD = CD0 + CD_alpha*the + CD_def*def + CD_q*q;
376 CM = CM0 + CM_alpha*the + CM_def*def + CM_q*q;
377 rsv = 0.5*rho*S*V0^2;
378
379 F = [ rsv*(CL*sin(alpha) - CD*cos(alpha)) * T*cos(alpha) - W*sin(the)
      0 ,...
      rsv*(-CL*cos(alpha) - CD*sin(alpha)) + W*cos(phi)*cos(the) ];
381 M = [0 rsv*mac*CM + T*(z_cg-z_motor) 0];
382
383 %% Derivadas do vetor de estados
384 % Aceleracoes lineares
385 up = F(1)/m + r*v - q*w;
386 vp = 0;
387 wp = F(3)/m + q*u - p*v;
388
389 % Aceleracoes angulares
390 aang = (Iner^-1)*[
391     M(1) + (Iyyb -Izzb)*q*r + Ixzb*p*q;
392     M(2) + (Izzb -Ixxb)*p*r + Ixzb*(r^2-p^2);
393     M(3) + (Ixxb -Iyyb)*p*q - Ixzb*q*r ];
394 pp = 0;
395 qp = aang(2);
396 rp = 0;
397
398 % Velocidades em relacao ao solo
399 vf = [
400     cos(the)*cos(psi), sin(phi)*sin(the)*cos(psi) - cos(phi)*sin(psi)
      ), cos(phi)*sin(the)*cos(psi) + sin(phi)*sin(psi);
401     cos(the)*sin(psi), sin(phi)*sin(the)*sin(psi) + cos(phi)*cos(psi)
      ), cos(phi)*sin(the)*sin(psi) - sin(phi)*cos(psi);
402     -sin(the), sin(phi)*cos(the), cos(phi)*cos(the)] * V;
403 xp = vf(1);
404 yp = 0;
405 zp = vf(3);
406
407 % Variacao dos angulos de Euler
408 dang = [1, sin(phi)*sin(the)/cos(the), cos(phi)*sin(the)/cos(the);
409     0, cos(phi), -sin(phi)];
    
```

```

410     0, sin(phi)/cos(the), cos(phi)/cos(the)]*[p;q;r];
411 phip = 0;
412 thep = dang(2);
413 psip = 0;
414
415 % Resultado
416 yp = [up;wp;qp;xp;zp;thep];
417
418 end
419
420 function x_ponto = odefun_linear(t,x,A,B,u,vet_temp)
421 [~,instante] = min(abs(vet_temp-t));
422 u_t = u(:,instante);
423 x_ponto = A*x + B*u_t;
424 end
425
426 function Vb = body(y, V)
427 % Essa funcao transforma um vetor da base fixa no solo em uma na
428 % base fixa
429 % no aviao (body), pode ser linha ou coluna.
430 % y eh o vetor de estados no instante, pode ser linha ou coluna,
431 % apenas
432 % importam os angulos de Euler
433 % V eh o vetor a ser transformado
434
435 [l,~] = size(V);
436 vet_col=false;
437 if l==3
438     vet_col = true;
439     V = V';
440 end
441 M = [cos(y(6)) *cos(0), cos(y(6)) * sin(0), -sin(y(6));
442     sin(0) *sin(y(6)) *cos(0) - cos(0) *sin(0), sin(0) *sin(y(6)) *
443     sin(0) + cos(0) *cos(0), sin(0) *cos(y(6));
444     cos(0) *sin(y(6)) *cos(0) + sin(0) *sin(0), cos(0) *sin(y(6)) *
445     sin(0) - sin(0) *cos(0), cos(0) *cos(y(6))];
446 Vb = (M*V)';
447 if vet_col
448     Vb = Vb';
449 end
450 end

```

Referências Bibliográficas

- [1] W. F. Phillips, *Mechanics of Flight*. John Wiley Sons, 2004.
- [2] M. V. Cook, *Flight dynamics principles: a linear systems approach to aircraft stability and control*. Butterworth-Heinemann, 2012.
- [3] J. E. Cooper, *Introduction to Aircraft Aeroelasticity and Loads*.
- [4] J. D. Anderson, *Aircraft performance and design*, vol. 1. WCB/McGraw-Hill Boston, MA, 1999.
- [5] D. E. Hoak, *The USAF Stability and Control DATCOM*. Air Force Wright Aeronautical Laboratories, 1960 (Revisado em 1978).